

# Υδραυλική ανοικτών αγωγών

## Επισκόπηση του θέματος και σχόλια

Δρ Μ. Σπηλιώτη  
Λέκτορα

Κείμενα από Μπέλλος, 2008 και από τις σημειώσεις  
Χρυσάνθου (βλπ βασικές σημειώσεις από  
Διαφάνειες), 2014

# Σκοπός μαθήματος

- Επανάληψη υδραυλικής ανοικτών αγωγών
- Εμβάθυνση υδραυλικής ανοικτών αγωγών
- Δεξιότητες στον υδραυλικό σχεδιασμό,
- Συνδυαστική σκέψη
- Ειδικές γνώσεις και μεθοδολογίες πάνω στο συγκεκριμένο θέμα του εξαμήνου
- Κατανόηση μιας μελέτης –οδηγού και εφαρμογής της σε άλλη περίπτωση (προσοχή κριτικά!)

# Βιβλιογραφία

## Ελληνική

- Μπέλλος Κ: Υδραυλική Ανοικτών Αγωγών
- Χρυσάνθου Βλ: Διαφάνειες μαθήματος Υδραυλικής Ανοικτών Αγωγών
- Δημητρίου: Εφηρμοσμένη Υδραυλική
- Νουτσόπουλος, Χριστοδούλου, Παπαθανασιάδης: Υδραυλική ανοικτών αγωγών
- Παπανικολάου: Ανοικτοί αγωγοί, σημειώσεις στο Ιντερνετ
- <http://mycourses.ntua.gr/document/document.php>

# Βιβλιογραφία

- Chow Open Chanel Hydraulics (Βίβλος),  
υπάρχει στη βιβλιοθήκη
- French, Akan, Sturm..... Open Chanel flow

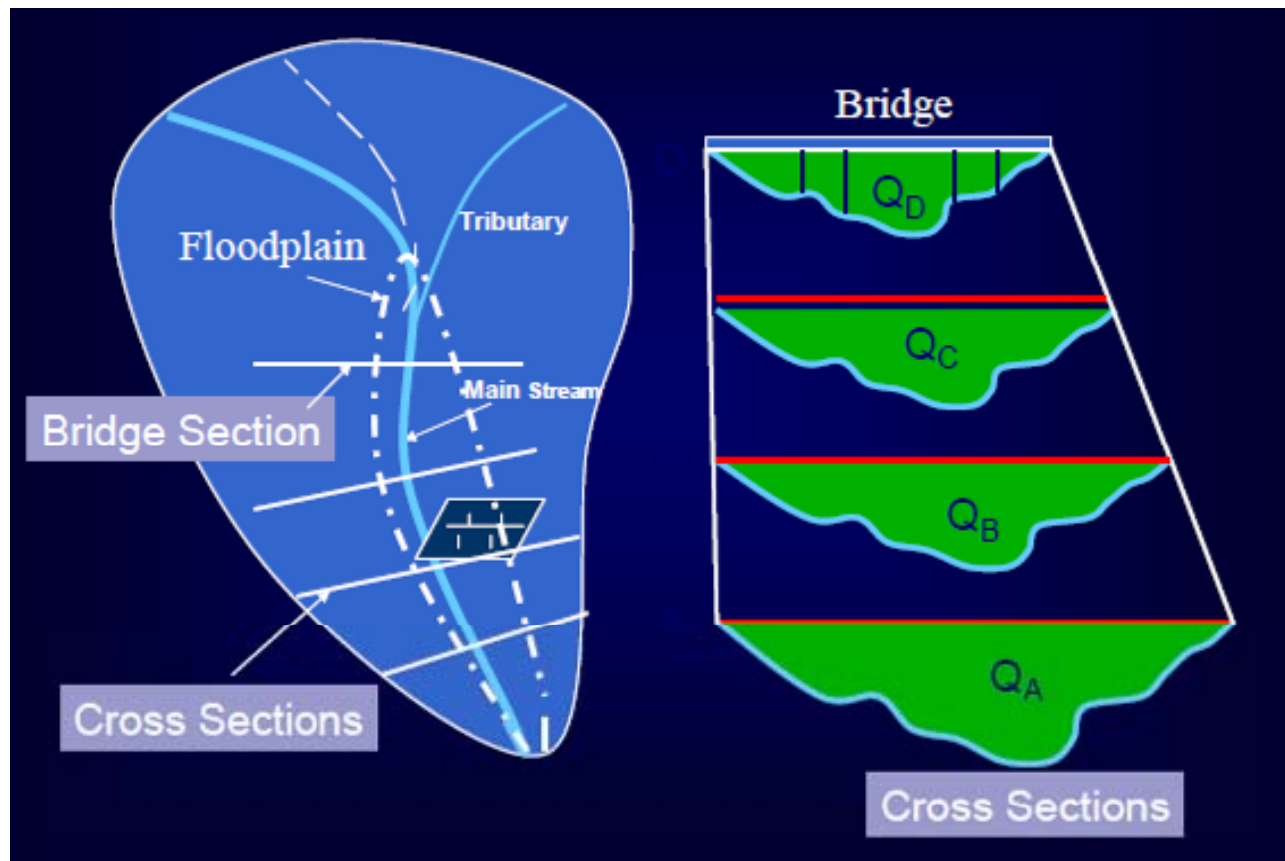
# Θέματα προς έρευνα

- Κλασική Υδραυλική (περίπου ληγμένο)
- Αριθμητική προσομοίωση (περίπου κορεσμένο)
- Πάντως υπάρχουν δημοσιεύσεις, αναθεωρήσεις + **πειράματα**
- **Υδρολογικές μέθοδοι διόδευσης** (σε μη πρισματικές διατομές), κοινή δι-επιφάνεια με την υδρολογία:  
Μέθοδοι μαύρου κουτιού, εννοιολογικά μοντέλα κλπ  
(όχι ακριβώς κορεσμένο)
- Ενσωμάτωση της αβεβαιότητας
- Εντάσσοντας το πρόβλημα στο πλαίσιο της Διαχείρισης Υδατικών Πόρων (απλή περίπτωση:  
βελτιστοποίηση αποχετευτικού δικτύου)

# HEC – RAS

## Γιαννόπουλος-Ελευθεριάδου-Σπηλιώτης

Εκτός  
ύλης



## Εκτός ύλης

- HEC-RAS υδραυλική επίλυση
- Μόνιμη, μη μόνιμη ροή
- Free
- <http://www.hec.usace.army.mil/software/>



[HOME](#) > SOFTWARE

## Software

[Software](#)

[CWMS](#)

[HEC-DSS](#)

[HEC-DSSVue](#)

[HEC-EFM](#)

[HEC-EFM Plotter](#)

[HEC-FDA](#)

[HEC-FIA](#)

[HEC-GeoDozer](#)

[HEC-GeoEFM](#)

[HEC-GeoHMS](#)

[HEC-GeoRAS](#)

[HEC-GridUtil](#)

[HEC-HMS](#)

[HEC-RAS](#)

[HEC-ResPRM](#)

[HEC-ResSim](#)

[HEC-RPT](#)

The Hydrologic Engineering Center (HEC) has been developing computer software for hydrologic engineering and planning analysis procedures since its inception in 1964. Although our software is developed to meet the needs of the U.S. Army Corps of Engineers' planning and engineering communities, we do make our software available to the public whenever appropriate. The HEC software that we make available for download on our web site may be used by individuals outside of the Corps of Engineers without charge, subject to the Terms and Conditions of Use for HEC Software.

In the past, for non-Corps users, HEC had provided a list of possible vendors for assistance or support for HEC software. As of 1 October 2008, HEC is no longer providing this list (Vendor List). USACE counsel has determined that the inclusion of this list could be interpreted as HEC recommending specific vendors over other vendors that are not included in the list. Therefore, by direction of USACE counsel HEC has discontinued this practice and has removed the list from our web site. Non-Corps individuals that contact our office to inquire about engineering support will be told to use any internet search engine to locate a vendor that can provide support for the specific HEC software.

- Distribution Policy
- Terms and Conditions of Use for HEC Software
- Support Policy

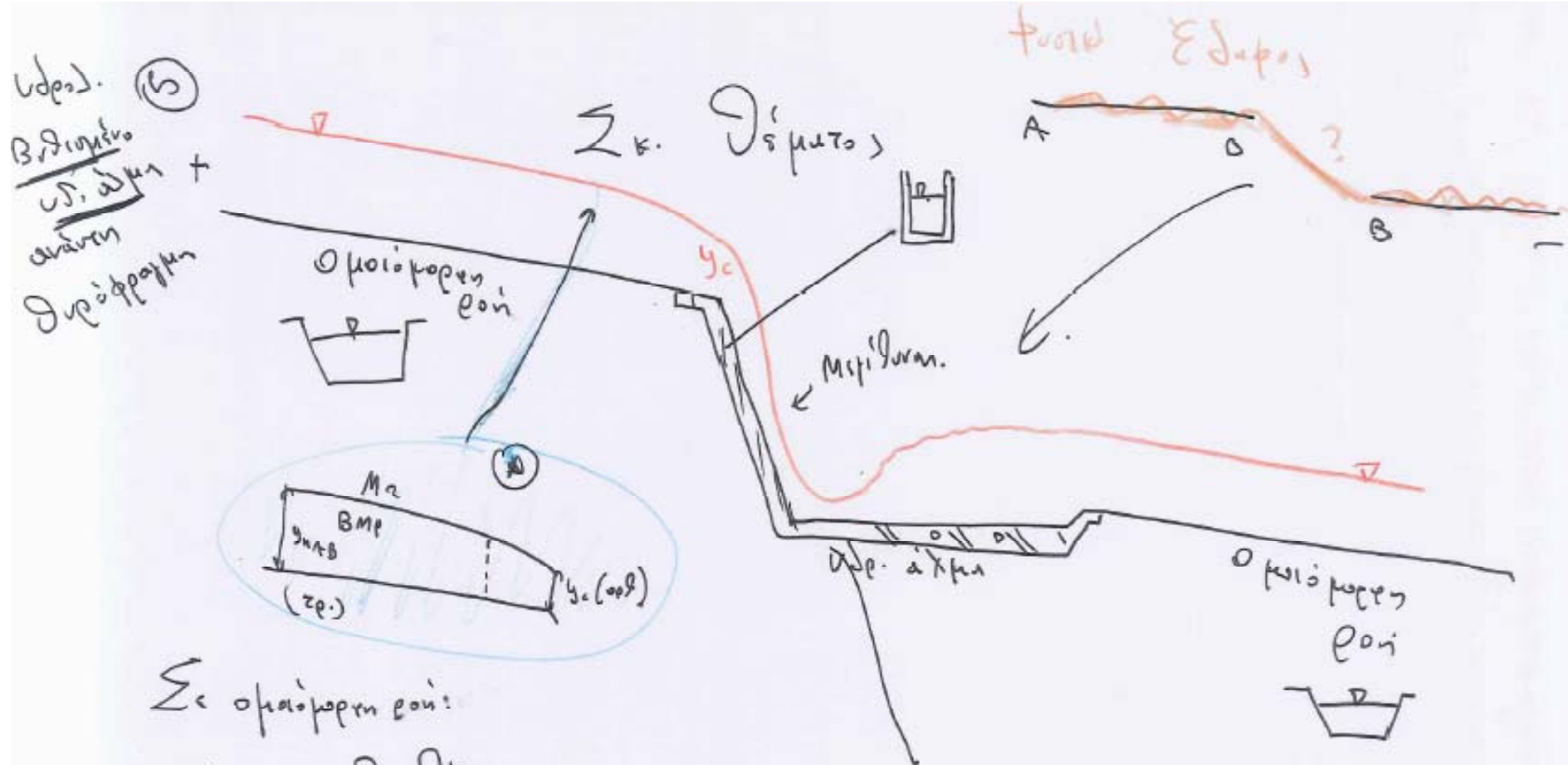


# ΓΕΝΙΚΑ

- Το HEC-RAS είναι ένα από τα μοντέλα του U.S.Army Corps of Engineers
- Κατασκευάστηκε από το Hydrologic Engineering Center (HEC)
- Είναι μοντέλο μεμονωμένου υδρολογικού γεγονότος
- Προσομοιώνει υδατορεύματα (River Analysis System – RAS)
  - Φυσικά ή τεχνητά
  - Μεμονωμένα ή συστήματα

**Επιστροφή στο Θέμα, 3η  
παρουσίαση**

**Σκαρίφημα**



Σε σημείωση ροή:

$A\beta$ ,  $\Gamma\Delta$ ,  $S\alpha D\gamma\lambda$

Η ροή να είναι πρώτη

$D\gamma\lambda$  να είναι "ασφαλής"

Υποκρίση.

ροή ανο'

υπερκρίση σε

υποκρίση ->

→ Η δρεπτής αλήμη, προωχίσσεις, καταρροή  
επιρρεσες

**Θεωρία κρίσιμης ροής  
επανάληψη βασική θεωρία**

# Θεωρία κρίσιμης ροής

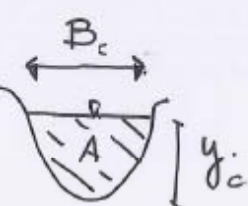
Κρίσιμη ροή

$$E \xrightarrow[\text{εγκάχτιση}]{\text{ενίκη σύρρεια}} \left( \frac{dE}{dy} = 0 \right)$$

όπου:

$$E = y + \left( \frac{Q}{A} \right) \frac{1}{2y}, \quad A = f(y)$$

Κρίσιμη ροή, Τοίχος

$$f_r = \frac{V_c}{\sqrt{g \frac{A_c}{B_c}}} = \frac{Q_c}{\sqrt{g \frac{A_c^3}{B_c}}} = 1$$


# Κρίσιμο Βάθος

Κρίσιμη ράση:

$$\left\{ \begin{array}{l} y > y_c \rightarrow \text{ρασή υποκρίσιμη.} \\ y < y_c \rightarrow \text{ρασή υπερκρίσιμη.} \\ y = y_c \rightarrow \text{ρασή κρίσιμη.} \end{array} \right\}$$

$y_c$ : Βαθός σημαντικής ράσης ( $y_c = \text{σύνορα}$ ).

μερικές φορές είναι κρίσιμο, υπερκρίσιμης υποκρίσιμο,

$y_c$  καθορίζεται από την κλίση.

## Κρίσιμες συνθήκες

Ορθ. Στατοψίη:  $F_r = \frac{V_c}{\sqrt{g} \gamma_c} = \frac{q}{\sqrt{g} \gamma_0} = 1$ .

Τρανσ. Στατοψίη  $\gamma_c$  ως συνάρτηση  $f_c$   
(Πίνακας → Γέμιση)

**Θυροφραγμά (υδροληψία)  
βυθισμένο υδραυλικό άλμα**



## Σητούμενο δ

- Υδραυλικός υπολογισμός υδροληψίας (Σχήμα Π1.7)
- Γνωστά μεγέθη:
  - Παροχή  $Q = 30.5 \text{ m}^3/\text{s}$
  - Βάθος ροής  $y_4 = 1.746 \text{ m}$  (από τον υπολογισμό της ανοροτόμορφης ροής)
  - Πλάτος  $b = 6.1 \text{ m}$  και  $q = Q/b = 30.5/6.1 = 5 \frac{\text{m}^3}{\text{s} \cdot \text{m}}$  (σήμεραν αναβαθμό)
  - Ορίζοντας ανδαμέτρα  $w = 1.60 \text{ m}$ ,  $\Delta z = 0.70 \text{ m}$ ,  $C_c = 0.60$  (Σχήμα Π1.7)
- Υπολογισμός χαρακτηριστικών βαθών ροής
  - $y_3$  (αριέσως κατάντη του υδραυλικού άλματος) =  $y_4 + \Delta z =$   
 $= 1.746 + 0.70 = 2.446 \text{ m}$
  - $y_2$  (αριέσως ανάτη του υδραυλικού άλματος) =  $C_c w = 0.60 \times 1.60 =$   
 $= 0.96 \text{ m}$
  - $y$  (βαθός στην κατάντη πλευρά του θυροφράγματος, βυθισμένη εκροή)
 
$$\frac{y}{y_3} = [1 - \frac{2q^2}{gy_3^3} (\frac{y_3}{y_2} - 1)]^{1/2} \Rightarrow y = 1.66 \text{ m}$$

Θέμα

Θέση (2) άλλο ύψος για την ορμή, γ2 και άλλο ύψος για τον υπολογισμό της πίεσης, γ

- γ (θάλασσα στην κατάντη πλευρά του θυροφράγματος, βυθισμένη εκροή)

$$\frac{y}{y_3} = \left[ 1 - \frac{2q^2}{gy_3^3} \left( \frac{y_3}{y_2} - 1 \right) \right]^{1/2} \Rightarrow y = 1.66 \text{ m}$$

Βυθισμένο υδραυλικό άλμα: Οι κατάντη συνθήκες επιβάλουν βάθος ροής μετά το άλμα μεγαλύτερο του ελεύθερου

θέμα

## Επαγγελματικός.

Σούπερ γεωγράφηση για  $y_2$ , και  $y_3 = ?$ .  $y_n = n = C_c \cdot w = 0.96$

Αν δεν ήταν αυδιογράφο το σίδηρο:

ηρωτική εξίσωση:  $y_3 = \frac{y_2}{2} (-1 + \sqrt{1 + 8 Fr_2^2})$

$$Fr_2 = \frac{v}{\sqrt{g y_2}} = \frac{30/6.1}{\sqrt{g \cdot 0.96^2}} = 1.69 \quad (\text{>1}) \quad \checkmark$$

$y_3 = 1.87$       ||      διαφορά για γεωγράφηση  $y_3' = y_{ABn} + \Delta 2 = 2.446$   
 $(\text{τότε } Fr = 0.69 < 1)$       ||      κατανοή.      → αυδιογράφος στη μέση.

θέμα

Βυθισμένο υδραυλικό αγχή,

① → συνέχεια, ορθ. διατομή:

$$Q = V_2 y_2 = V_3 y_3 \quad \left( Q = \frac{A}{b} \right)$$
$$\Rightarrow V_3 y_3 = V_2 y_2 = Q$$

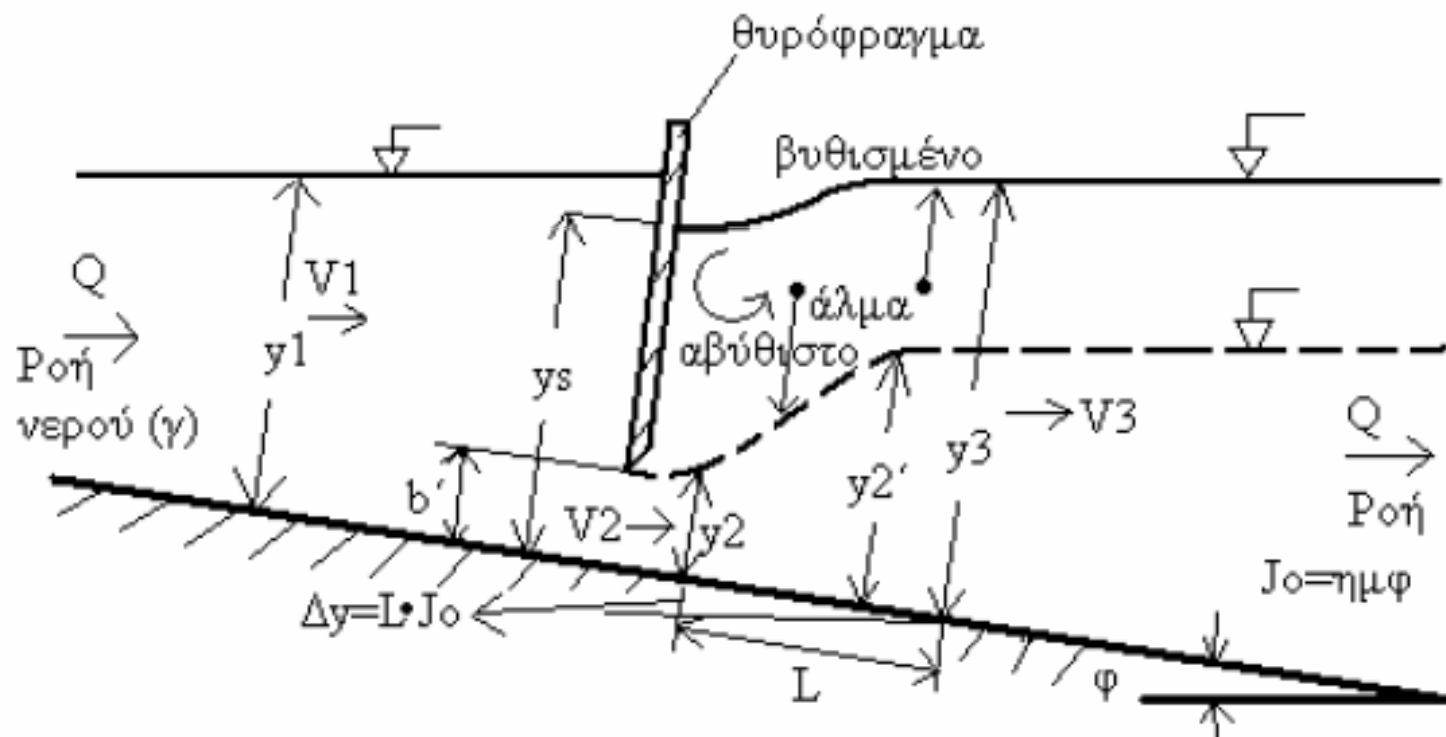
Προτοχώ: Η στήλη  $y - y_2$  συμβάλλει στην πίεση  
αλλά όχι στην ροή βεγγας

Απόδειξη  
εξίσωσης  
βυθισμένου  
υδραυλικού  
άλματος, δεν  
απαιτείτε στο  
θέμα

② → Εξίσωση ποσοτής ρίμης, ορθ. διατομή:

$$\frac{1}{2} \rho g y_3^2 - \frac{1}{2} \rho g y_2^2 \in Q (V_{\text{έπον}} - V_{\text{επον}}) =$$
$$= \rho q (V_3 - V_2) = \rho q^2 \left( \frac{1}{y_3} - \frac{1}{y_2} \right) \Rightarrow$$
$$\Rightarrow \frac{y}{y_3} = \left[ 1 - \frac{2q}{g y_3} \left( \frac{y_3}{y_2} - 1 \right) \right]^{\frac{1}{2}}.$$

# Βυθισμένο υδραυλικό άλμα



Από Δημητρίου και Ρετσίνης

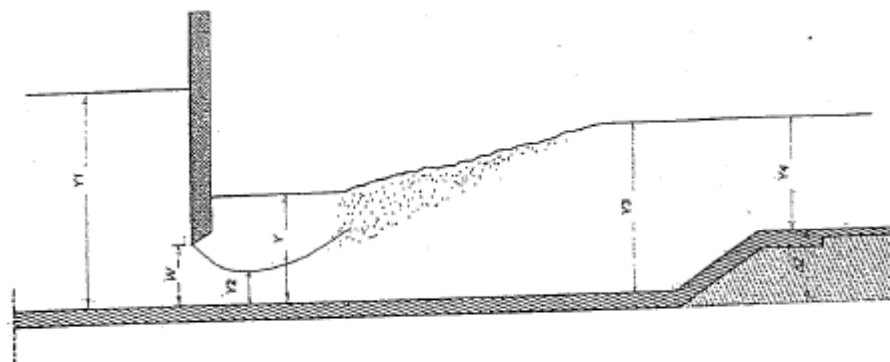
# Θυρόφραγμα: Εναλλακτά βάθη, κοινή ειδική ενέργεια

Τέλος η ζητούμενη στάθμη του ύδατος στην δεξαμενή τροφοδοσίας  $y_1$ , προκύπτει από την Εξ. Π1.31, αν θεωρηθεί ότι η απώλεια ενέργειας μεταξύ των Διατομών 1 και 2 είναι αμελητέα ( $E_1 = E_2$ ), δηλαδή είναι:

$$y_1 + \frac{q^2}{2gy_1^2} = y + \frac{q^2}{2gy^2} \quad (\text{Π1.31})$$

Η επίλυση της τριτοβάθμιας εξίσωσης Π1.31 δίνει τις παρακάτω λύσεις:

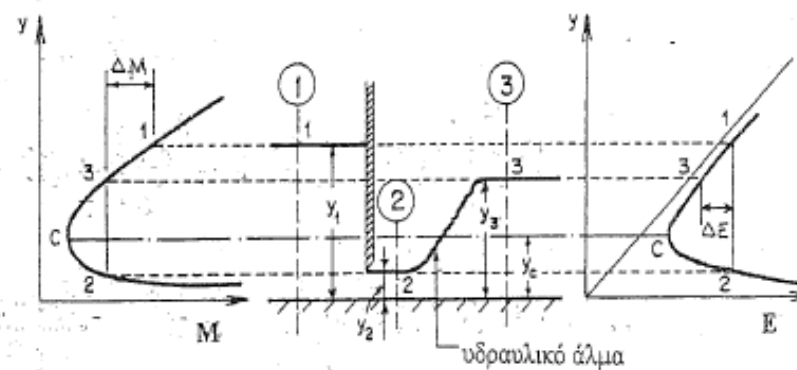
- $y_1 = -0.59 \text{ m}$ , η οποία απορρίπτεται γιατί είναι αρνητική
- $y_1 = 0.74 \text{ m}$ , η οποία απορρίπτεται γιατί πρέπει να είναι:  
 $y_1 > w \Rightarrow y_1 > 1.60 \text{ m}$
- $y_1 = 2.90 \text{ m}$ , η οποία είναι και η ζητούμενη στάθμη ύδατος στην δεξαμενή τροφοδοσίας



οριζόντιος  
αγωγός

θέμα

# Θυρόφραγμα



Σχ. 4.3 Υδραυλικό άλμα σε ροή κάτω από θυρόφραγμα

$$E_1 = E_2$$

$$\frac{F}{\rho g} = M_2 - M_1$$

$F$ : δύναμη ανά μονάδα πλάτους που ασκείται από το θυρόφραγμα στη μάζα του νερού  $\left[\frac{N}{m}\right]$

$$M_2 = M_3$$

# Υδροληψία...

- Μήκος υδραυλικού αλματος

$$L_j = 6.0 \times y_3 = 6.0 \times 2.446 = 14.68 \text{ m} \quad (\text{εμπειρικός τύπος})$$

- Για λόγους ασφαλείας αυξάνεται το μήκος κατά 10%, σούτε

$$L = 1.1 \times L_j = 1.1 \times 14.68 \simeq 17.0 \text{ m}$$

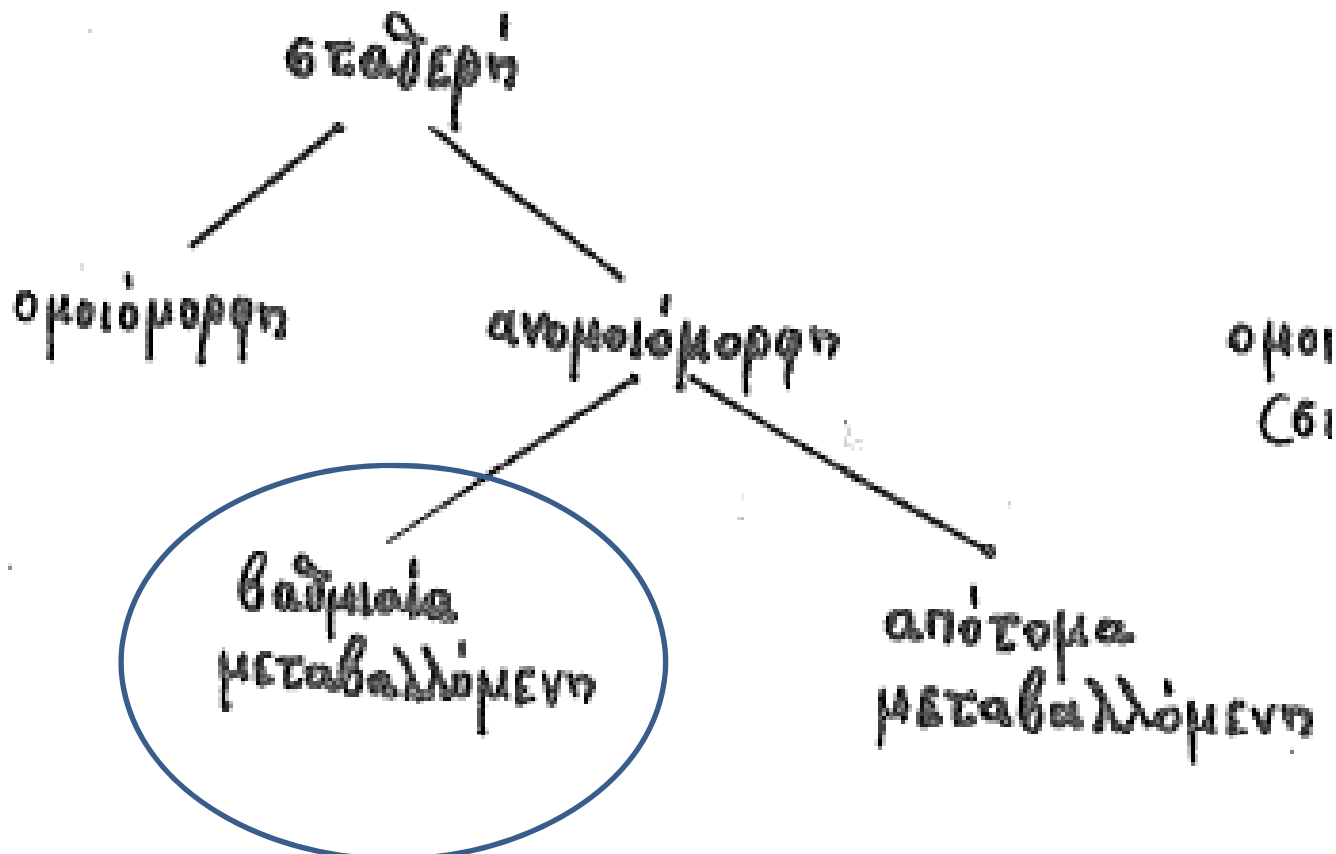
θέμα

Θυρόφραγμα: Αρχή διατήρησης της ενέργειας με  
αμελητέες απώλειες

Κατάντη (βυθισμένο) υδραυλικό άλμα: Ισορροπία  
δυνάμεων από πίεσης με καθαρή εκροή (εκροή -  
εισροή) ορμής, αμελητέα δύναμη πυθμένα

**Βαθιαία μεταβαλλόμενη ροή**

Είδη φύσης



# Βαθμιαία μεταβαλλόμενη ροή

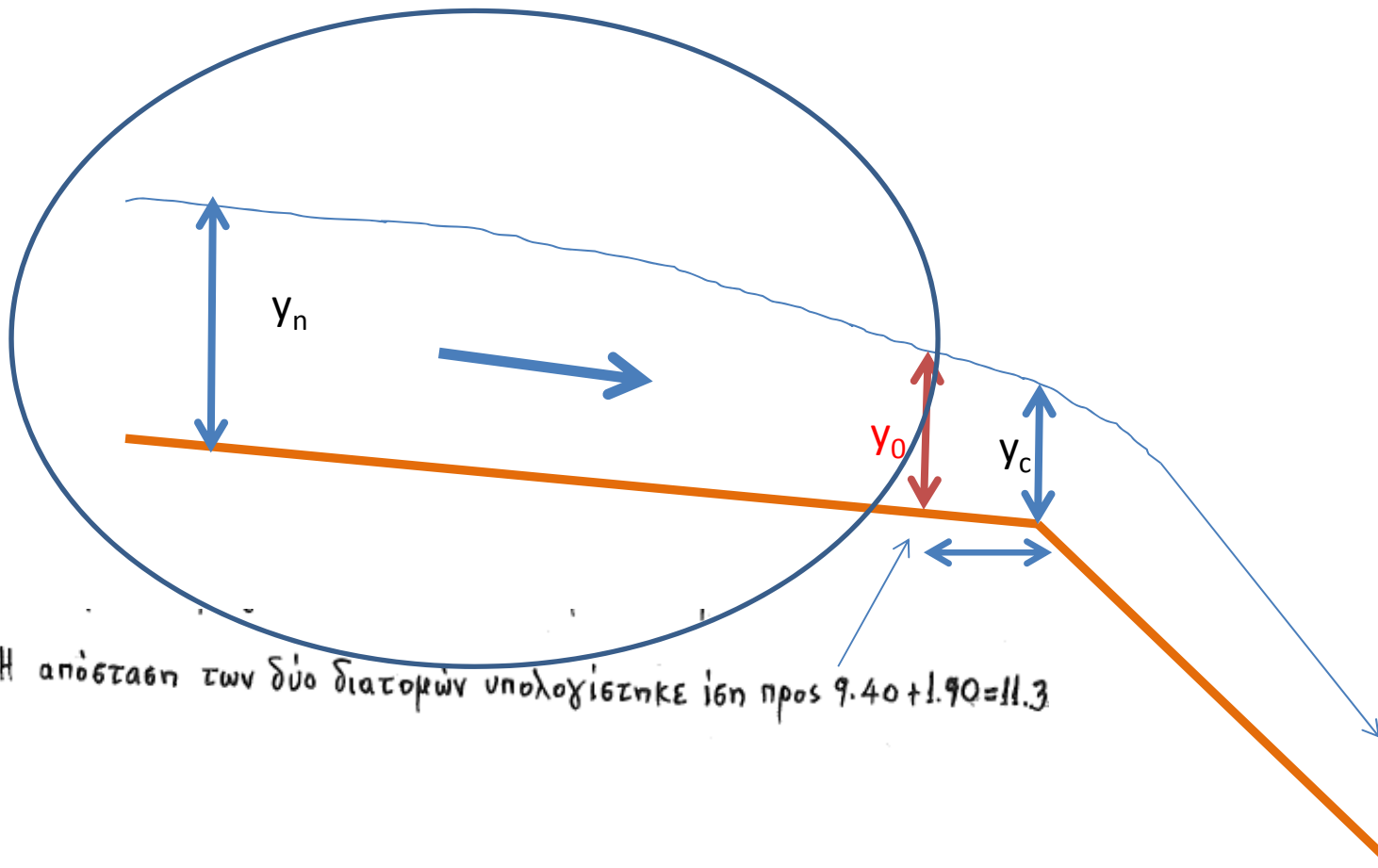
- $|dy/dx| < 1$  (Δημητρίου, 1988)
- Υδροστατική διανομή πιέσεων, αμελητέες κατακόρυφες κινήσεις
- Ισχύς της εξίσωσης του Manning για τη διατμητική τάση στερεού ορίου με βάση όμως την κλίση της γραμμής ενέργειας

Σχόλιο: Στη BMP η κλίση πυθμένα, στάθμης ελεύθερης επιφανείας αλλά και γραμμής ενέργειας δε συμπίπτουν.

# Βαθμιαία μεταβαλλόμενη ροή

- Γενική εξίσωση: Ενέργειας σε διάφορες μορφές
- Μορφή καμπύλης στάθμης (βλπ πίνακες)
- Ισχύς εξίσωσης Manning σε διατομή μόνο που αντί της κλίσης πυθμένας θέτω την κλίση γραμμής ενέργειας
- Μέση κλίση της γραμμής ενέργειας μεταξύ δύο τμημάτων
- Δύο βασικές περιπτώσεις προβλημάτων:
  - Γνωστό υψόμετρο και  $\Delta L$ , άγνωστο το ανάντη (ή κατάντη υψόμετρο)
  - Γνωστά δύο υψόμετρα και άγνωστο το μήκος  $\Delta L$  (θέμα)

# Φορά υπολογισμών: καμπύλη M2, (2) κατάντη → ανάντη (1)

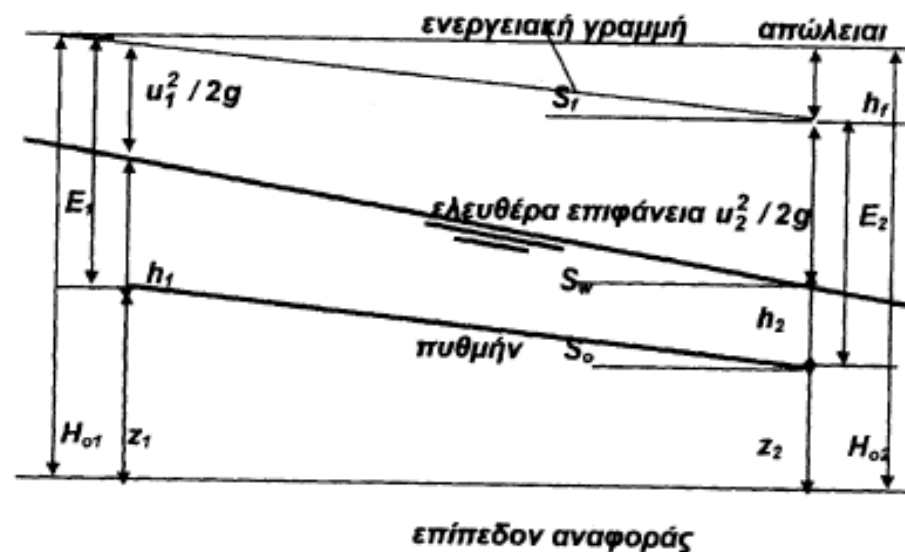


- Η απόσταση των δύο διατοκών υπολογίσεινκε ίση προς  $9.40 + 1.90 = 11.3$

Βαθμιαία μεταβαλλόμενη ροή

Μορφή καμπύλης

Βαθμιαία μεταβαλλόμενη ροη



**Σχήμα 11.1 Σχέσεις ενεργείας εις την βαθμιαίως μεταβαλλομένην ροήν**

Η εφαρμογή της ενεργειακής εξισώσεως μεταξύ των διατομών 1 και 2 του Σχήματος 11.1 δίδει,

$$z_1 + h_1 + \frac{u_1^2}{2g} = z_2 + h_2 + \frac{u_2^2}{2g} + h_f \quad (11.6)$$

ΕΠΕΙΔΗ,

$$z_1 - z_2 = S_o L \quad (11.7)$$

# Μορφή καμπύλης

$$\frac{dE}{dx} = S_o - S_f = \frac{dE}{dy} \frac{dy}{dx} = \left(1 - \frac{Q^2 B}{gA^3}\right) \frac{dy}{dx} = \left(1 - \frac{Q^2}{gA^3} \frac{dA}{dy}\right) \frac{dy}{dx}$$

$$S_o - S_f = \left(1 - \frac{Q^2 B}{gA^3}\right) \frac{dy}{dx} = \left(1 - Fr^2\right) \frac{dy}{dx} \Rightarrow$$

$$\frac{dy}{dx} = \frac{S_o - S_f}{1 - Fr^2}$$

- κλίση πνεύμενων

Για  $y > y_n \Rightarrow S_o > S_f$   
 Για  $y < y_n \Rightarrow S_o < S_f$   
 Γιατί? Βλπ επόμενη διαφάνεια

Για  $y > y_{cr} \Rightarrow Fr < 1$   
 Για  $y < y_{cr} \Rightarrow Fr > 1$   
 Για  $y = y_{cr} \Rightarrow Fr = 1$

a) ηπια, σταν  $y_n > y_{cr}$

β) απότομη, σταν  $y_n < y_{cr}$

γ) κρίσιμη, σταν  $y_n = y_{cr}$

## Δύο ειδών διατομές

Τύπου α μία βάθους ροής για δεδομένη παροχή, όσο αυξάνει το βάθος ροής αυξάνει η υδραυλική διοχετευτικότητα και η παροχή

Άγωγοί ανοιχτής διατομής



Τύπου β δύο λύσεις βάθους ροής για δεδομένη παροχή

Άγωγοί κλειστής διατομής



- $S_0$  (κλίση πυθμένα) >  $S_f$

$T \nu \pi o v \quad A$

$$\left. \begin{array}{l} S_0 \text{ (κλίση πυθμένα)} > S_f, \\ \delta \varepsilon \delta o \mu \acute{e} n \eta \pi \alpha \rho o \chi \acute{\eta} \\ \frac{1}{n} A_n R_n^{2/3} S_0^{1/2} = \frac{1}{n} A R^{2/3} S_f^{1/2} \end{array} \right\} \rightarrow$$

$$A_n R_n^{2/3} < A R^{2/3} \rightarrow$$

$\nu \delta \rho \alpha \nu \lambda \iota \kappa \acute{\eta} \delta \iota \circ \chi \varepsilon \tau e \nu \tau \iota \kappa \acute{o} \tau \eta \tau \alpha$   
 $\sigma \mu \circ i \mu o \rho \phi o \beta \alpha \theta o \varsigma \rho o \acute{\eta} \varsigma$

$$y_n < y$$

ΠΙΝΑΚΑΣ 4.1

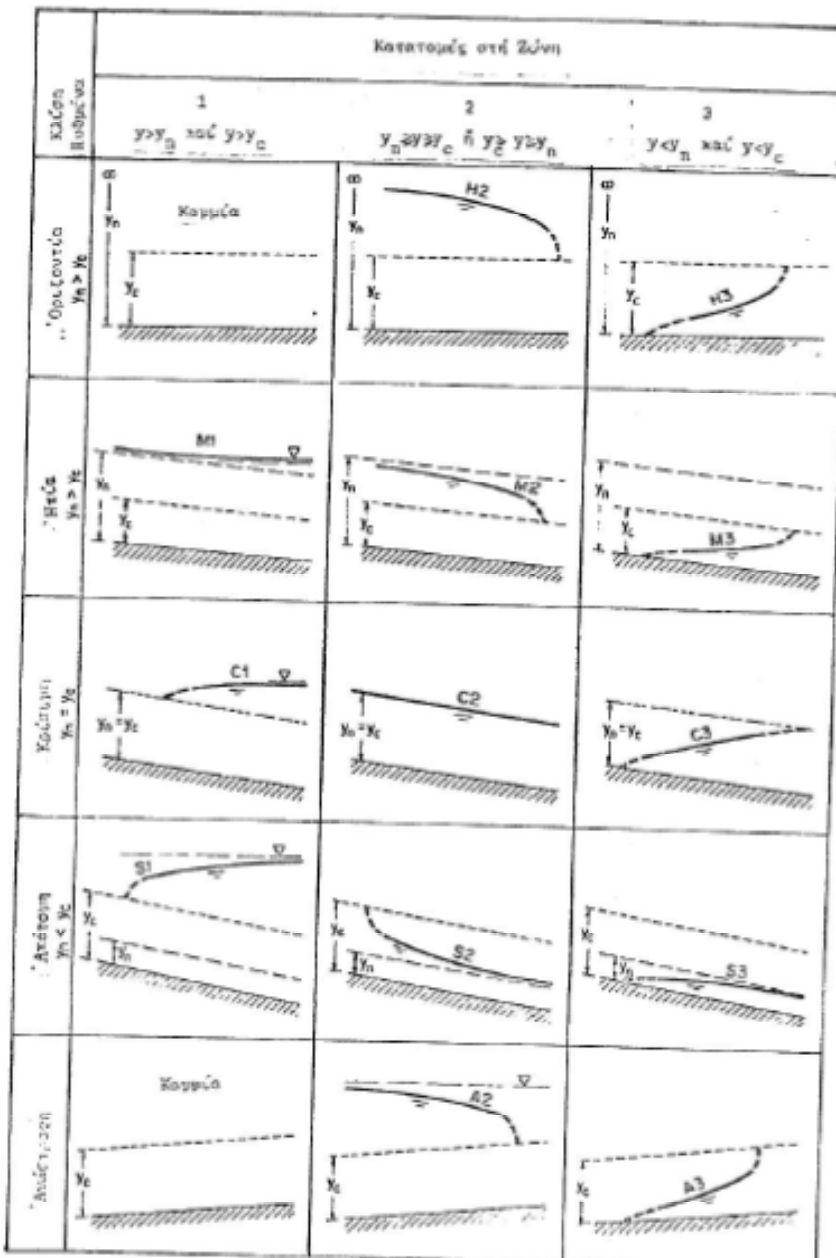
ΤΥΠΟΙ ΚΑΤΑΤΟΜΩΝ ΤΗΣ ΕΠΙΦΑΝΕΙΑΣ ΤΟΥ ΥΔΑΤΟΣ  
ΣΕ ΠΡΙΣΜΑΤΙΚΟΥΣ ΑΓΓΟΥΣ

Κλίση πυθμένα άγωγού	Συμβολισμός			Σχέση των βάθους γ πρός $y_n$ και $y_c$	Γενικός τύπος καμπόλης*	κατάσταση της ροής
	Ζώνη 1	Ζώνη 2	Ζώνη 3			
'Οριζόντια $s_0 = 0$	-0-			-0-	-0-	-0-
		$H_2$		$y_n > y > y_c$	K	'Υποκρίσιμη
'Ηπία $0 < s_0 < s_c$		$H_3$		$y_n > y_c > y$	Y	'Υπερκρίσιμη
	$M_1$			$y > y_n > y_c$	Y	'Υποκρίσιμη
$s_0 = s_c > 0$		$M_2$		$y_n > y > y_c$	K	>>
		$M_3$		$y_n > y_c > y$	Y	'Υπερκρίσιμη
Κρίσιμη $s_0 = s_c > 0$	$C_1$			$y > y_n = y_c$	Y	'Υποκρίσιμη
		$C_2$		$y = y_n = y_c$	O	Κρίσιμη και διμοιριδική
'Απότομη $s_0 > s_c > 0$		$C_3$		$y_n = y_c > y$	Y	'Υπερκρίσιμη
		$S_1$		$y > y_c > y_n$	Y	'Υποκρίσιμη
		$S_2$		$y_c > y > y_n$	K	'Υπερκρίσιμη
		$S_3$		$y_c > y_n > y$	Y	>>
$s_0 < 0$	-0-			-0-	-0-	-0-
		$A_2$		$ y_n  > y > y_c$	K	'Υποκρίσιμη
		$A_3$		$ y_n  > y_c > y$	Y	'Υπερκρίσιμη

\* ) K = καμπόλη καταπτώσεως, Y = καμπόλη ύπερυψώσεως, O = διμοιριδική  
ροή

Σακκάς, 1988

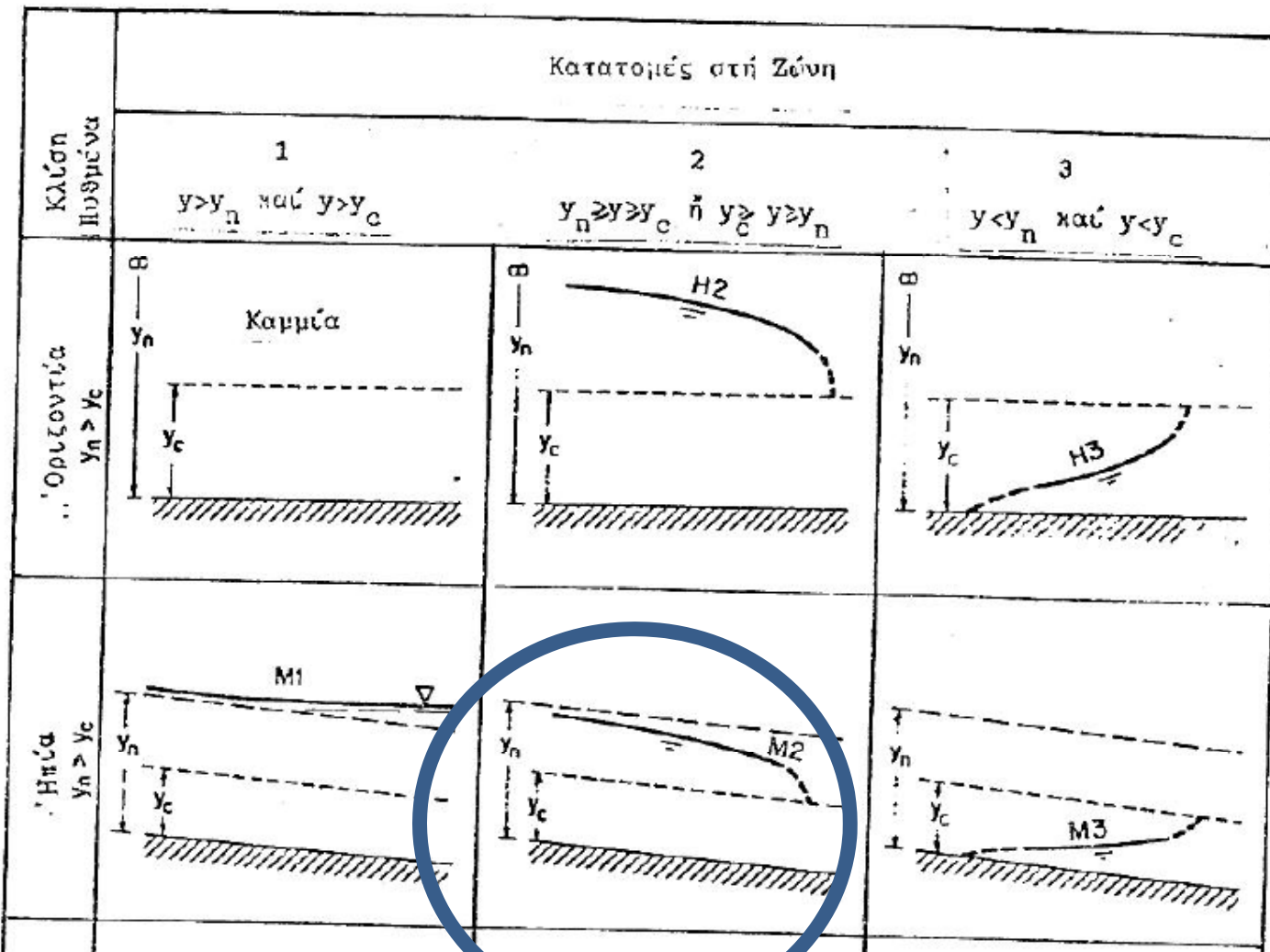
$$\frac{dy}{dx} = \frac{S_0 - S_f}{1 - F_T^2}$$



Σακκάς, 1988

4.1 Σχηματική παράσταση και ταξινόμηση των κατατομών της

θέμα



$$\frac{dy}{dx} = \frac{S_0 - S_f}{1 - F_r^2}$$

- Κλίση παραβόλη

$$\text{Για } y > y_n \Rightarrow S_0 > S_f$$

$$\text{Για } y < y_n \Rightarrow S_0 < S_f$$

$$\text{Για } y > y_c \Rightarrow F_r < 1$$

$$\text{Για } y < y_c \Rightarrow F_r > 1$$

$$\text{Για } y = y_c \Rightarrow F_r = 1$$

Ια , M2

Θέμα

- «Λεπτομέρεια»: το κρίσιμη βάθος ορίζεται για συγκεκριμένη παροχή και διατομή (εκεί και η ελάχιστη ειδική ενέργεια).
- ΑΒ, Τραπεζοειδής διατομή:  $y_n = 1.75$  και  $y_c = 1.293$
- Σημείο 1 ορθογωνική διατομή

- Βάθος νερού στη διατομή 1 (κρίσιμο βάθος)

$$y_1 = y_c = \sqrt[3]{\frac{q^2}{g}} = \sqrt[3]{\frac{4.36^2}{9.81}} = 1.25 \text{ m}$$

- Υποθέτω λοιπόν η ροή ανάτη του Ο, υποκρίσιμη με  $y > 1.293 \text{ m} > 1.25 \text{ m} = \text{κρίσιμο βάθος για ορθογωνική διατομή}$

θέμα

# Φορά υπολογισμών

- Υποκρίσημη ροή: Από κατάντη σε ανάντη (θέμα) εφόσον (τα κύματα βαρύτητας μετακινούνται και ανάντη και κατάντη, 'φορείς πληροφοριών')
- Υπερκρίσιμη ροή: Από ανάντη σε κατάντη. «Η υπερκρίσιμη ροή δε γνωρίζει τη συμβαίνει κατάντη αυτής» (τα κύματα βαρύτητας μετακινούνται μόνο κατάντη)

Βαθμιαία μεταβαλλόμενη ροή

Α μέθοδος επίλυσης  
βαθμιαία μεταβαλλόμενη ροή

# Α Μέθοδος

- Ασκησιολογικά
  - Όταν γνωρίζω τα βάθη ροής, η μπορώ να υποθέσω μεταξύ αρχικού και τελικού και ζητούνται τα μήκη  $L$
  - Εύκολη εφαρμογή σε θέμα



## Πρόβλημα 11.1

Εις αγωγός ορθογωνικής διατομής έχει πλάτος  $b = 3.0m$ , η κλίσις του πυθμένος ισούται προς  $0.0025$  και ο συντελεστής τριβής της ροής κατά Manning  $n = 0.012$ . Το βάθος της ροής εις ορισμένην διατομήν είναι  $h = 0.82m$  όταν η παροχή είναι ίση προς  $Q = 49.0m^3 / s$ . Ζητείται να χαρακτηρισθή α) το είδος της καμπύλης και β) να υπολογισθή η απόστασις εκ της ανωτέρω διατομής όπου το βάθος ροής λαμβάνει την τιμήν  $h = 0.90m$ .

Σούλης, 2015

Δε δόθηκε  
έμφαση στην  
τάξη

a) Το πρώτον υπολογίζεται το κανονικόν βάθος ροής. Έκ της εξισώσεως κατά Manning είναι,

$$Q = A \frac{1}{n} R^{2/3} S_o^{1/2}$$

επομένως δί' αντικαταστάσεως των τιμών (ορθογωνικής διατομής ανοικτός αγωγός),

$$9.0 = \frac{3.0 h_n}{0.012} \left( \frac{3.0 h_n}{3.0 + 2h_n} \right)^{2/3} (0.005)^{1/2}$$

και δί' επαναλήψεων,

$$h_n = 0.782m$$



**Σούλης, 2015**

Ο υπολογισμός του κρισίμου βάθους γίνεται εκ της εξισώσεως,

$$h_c^3 = \frac{q^2}{g} = \frac{Q^2}{b^2 g}$$

και δί' αντικαταστάσεως των εκ της εκφωνήσεως τιμών είναι,

$$h_c = 0.971m$$

Διά της συγκρίσεως του κανονικού βάθους ροής προς το κρίσιμον βάθος ροής προκύπτει ότι,

$$h_n < h_c$$

δηλαδή το βάθος ομοιομόρφου ροής (κανονικόν) είναι μικρότερον του κρισίμου βάθους. Επομένως η ροή είναι υπερκρίσιμος του τύπου **S**. Επειδή δε η υπό μελέτην απόστασις ευρίσκεται μεταξύ των βαθών *0.80m* και *0.90m*, τα οποία ευρίσκονται μεταξύ των τιμών των βαθών ομοιομόρφου ροής και κρισίμου ροής, ο τύπος της καμπύλης είναι **2**. Η καμπύλη δηλαδή είναι του τύπου **S2**. Επομένως το βάθος ροής αυξάνεται εκ των κατάντη προς τα ανάντη.

$h$	$A$	$P$	$R$	$u$	$\frac{u^2}{2g}$	$h + \frac{u^2}{2g}$	Αριθμητής	$u_{μέση}$	$R_{μέση}$	$S_f$	Παρανομαστής	$I$
$m$	$m^2$	$m$	$m$	$m/s$	$m$	$m$	$m$	$m/s$	$m$	$Eξίσωσις (11.10)$	$S_f - S_o$	$m$
0.82	2.46	4.64	0.53	3.658	0.682	1.502						
							0.021	3.574	0.538	0.0042	0.0017	12.35
0.86	2.58	4.72	0.547	3.49	0.621	1.481						
							0.016	3.410	0.482	0.0044	0.0019	8.42
0.90	2.70	4.80	0.417	3.33	0.565	1.465						

Τελικόν άθροισμα  $12.35+8.42 = 20.77 m$

Πίνακας 11.1 Υπολογισμός αναμοιομόρφου ροής (Πρόβλημα 11.1). Τύποι

Δε δόθηκε  
έμφαση στην  
τάξη

Αυθαίρετο  $h$

Συνοπτικά είναι γνωστές οι τιμές  $y_1$ ,  $A_1$ ,  $R_1$ ,  $V_1$ ,  $S_{f1}$ ,  $E_1$  στην αρχική θέση, στη συνέχεια ορίζεται μια τιμή  $y_2$  και ακολουθούν οι υπολογισμοί:

$$y_2 \Rightarrow A_2 \Rightarrow R_2 \Rightarrow V_2 \Rightarrow S_{f2} \Rightarrow \bar{S}_{f1,2} \Rightarrow E_2 \Rightarrow \Delta x_{1,2} \Rightarrow x_2 \quad (\text{Π1.19})$$

Η διαδικασία των υπολογισμών συνεχίζεται μέχρι την περιοχή της υδροληψίας ώστε να καλυφθεί η περιοχή στην οποία ζητείται η κατατομή του νερού.

Δε δόθηκε  
έμφαση στην  
τάξη

	$\gamma$	A	P	R	v	$V^{2/2g}$	$V^{2/2g+Y=E}$	E1-E2	VMESH	Rmesh	Sfmesh	Sfmesh-S0	
	1.5670	12.30173	11.1499	1.103304	2.467132	0.310231	1.8772						
1	1.5853	12.48891	11.21588	1.113503	2.430155	0.301002	1.8863	0.0091	2.448644	1.108404	0.001024	0.000324495	27.95218
2	1.6036	12.6771	11.28186	1.123671	2.394081	0.292132	1.8957	0.0094	2.412118	1.118587	0.000982	0.00028211	33.42623
3	1.6219	12.86629	11.34784	1.133809	2.358877	0.283604	1.9055	0.0098	2.376479	1.12874	0.000942	0.000241887	40.3989
4	1.6402	13.05648	11.41383	1.143918	2.324516	0.275401	1.9156	0.0101	2.341696	1.138864	0.000904	0.000203694	49.57248
5	1.6585	13.24768	11.47981	1.153999	2.290967	0.267509	1.9260	0.0104	2.307741	1.148959	0.000867	0.00016741	62.16967
6	1.6768	13.43989	11.54579	1.164051	2.258203	0.259912	1.9367	0.0107	2.274585	1.159025	0.000833	0.00013292	80.5251
7	1.6951	13.6331	11.61177	1.174076	2.2262	0.252598	1.9477	0.0110	2.242202	1.169063	0.0008	0.000100119	109.7214
8	1.7134	13.82731	11.67775	1.184073	2.194932	0.245552	1.9590	0.0113	2.210566	1.179074	0.000769	6.89087E-05	163.3181
9	1.7317	14.02253	11.74373	1.194043	2.164374	0.238762	1.9705	0.0115	2.179653	1.189058	0.000739	3.91967E-05	293.6618
	1.7400	14.1114	11.77366	1.198557	2.150743	0.235764	1.9758	0.0053	2.157559	1.1963	0.000718	1.84467E-05	287.4262
10	1.7500												



Βαθμιαία μεταβαλλόμενη ροή

β Κατηγορία προβλημάτων  
μέθοδος χωρικού βήματος  
έμφαση από διδάσκοντες  
βαθμιαία μεταβαλλόμενη ροή

# μέθοδος χωρικού βήματος

- Αυθαίρετη υπόθεση (στο θέμα, των ανάντη) υψηλέτρων
- Θα πρέπει να **επαληθεύεται** η εξίσωση της ενέργειας (δοκιμές)
  - Υποκρίσιμη ροή στο θέμα, υπολογισμοί από κατάντη σε ανάντη

θέμα

## Μέθοδος σταθερού χωρικού βήματος

Στη μέθοδο αυτή χρησιμοποιείται η γενική εξίσωση διατηρήσεως ενέργειας:

$$z_2 + y_2 + \frac{Q^2}{2A_2^2 g} = z_1 + y_1 + \frac{Q^2}{2A_1^2 g} - \bar{S}_f \Delta x - \sum h_k \quad (\Pi 1.20)$$

Σύμφωνα με την εξίσωση αυτή προκύπτει γενικά η τιμή του βάθους  $y_2$  σε μια διατομή (2) όταν είναι γνωστά τα στοιχεία στη διατομή (1) με δεδομένη την τιμή του  $\Delta x$ . Η εξίσωση αυτή όμως δεν είναι δυνατόν να καταλήξει σε ρητή έκφραση ως προς τον άγνωστο  $y_2$  και έτσι επιλύεται μόνο με διαδοχικές προσεγγίσεις.

Η διαδικασία που ακολουθείται είναι η εξής: Οι υπολογισμοί αρχίζουν από την Διατομή 1 (τέλος του τμήματος  $A - B$  και αρχή του αναβαθμού), όπου οι συνθήκες ροής είναι κρίσιμες και είναι γνωστό το βάθος ροής του ύδατος. Με την χρήση της Εξίσωσης Π1.20 και προχωρώντας από το τέλος της Διώρυγας προς την αρχή, θα υπολογισθεί το βάθος ροής στις υπόλοιπες διατομές. Για τους υπολογισμούς αυτούς γίνονται οι εξής παραδοχές:

Θέμα

$$z_1 + \frac{V_1^2}{2g} + y_1 = z_2 + \frac{V_2^2}{2g} + y_2 + hf \Leftrightarrow$$

$\alpha v \alpha v \tau \eta$       1       $\kappa \alpha \tau \alpha v \tau \eta$

$$\left( \frac{V_1^2}{2g} - \frac{V_2^2}{2g} \right) + (y_1 - y_2) + (z_1 - z_2) - hf \Leftrightarrow$$

$$\left( \frac{V_1^2}{2g} - \frac{V_2^2}{2g} \right) + (y_1 - y_2) + S_0 \Delta L - (\bar{S}_f) \Delta L \Leftrightarrow$$

$$\left( \frac{V_1^2}{2g} - \frac{V_2^2}{2g} \right) + (y_1 - y_2) + S_0 \Delta L - \left( \frac{S_{f,1} + S_{f,2}}{2} \right) \Delta L = 0 \Leftrightarrow$$

$$\left( \frac{V_1^2}{2g} - \frac{V_2^2}{2g} \right) + (y_1 - y_2) + S_0 \Delta L - \left( \frac{S_{f,1} + S_{f,2}}{2} \right) \Delta L = 0 \Leftrightarrow$$

$$\left( \frac{V_2^2}{2g} - \frac{V_1^2}{2g} \right) + (y_2 - y_1) - S_0 \Delta L + \left( \frac{S_{f,1} + S_{f,2}}{2} \right) \Delta L = 0$$

# Τελική εξίσωση, επίλυση με δοκιμές

$$\left( \frac{V_2^2}{2g} - \frac{V_1^2}{2g} \right) + (y_2 - y_1) - S_0 \Delta L + \left( \frac{S_{f,1} + S_{f,2}}{2} \right) \Delta L = 0$$

$$S_{f,1} = \alpha \gamma n, \delta \text{οκιμές} = \left( \frac{V \cdot n}{R^{2/3}} \right)^2$$

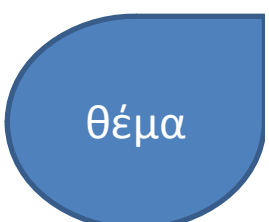
Προσοχή: Επίλυση με δοκιμές  
Δες εξέλ εντολή solver  
Κατάντη σε ανάντη  
 $(2, \text{γνωστό}) \rightarrow (1, \text{ανάντη}, \text{άγνωστο})$

θέμα

# Β Μέθοδος

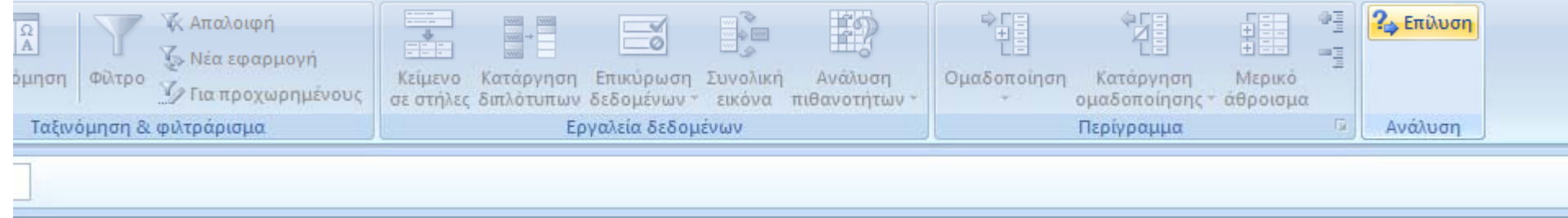
- **Ασκησιολογικά**

- Όταν γνωρίζω το κατάντη βάθος ροής (σε άλλα το ανάντη, πάντως ένα βάθος ροής) και ζητώ το βάθος ροής για ένα  $\Delta x$
- Δοκιμές: υπόθεση και επαλήθευση με βάση την εξίσωση της ενέργειας
- Θέμα με: SOLVER, excel

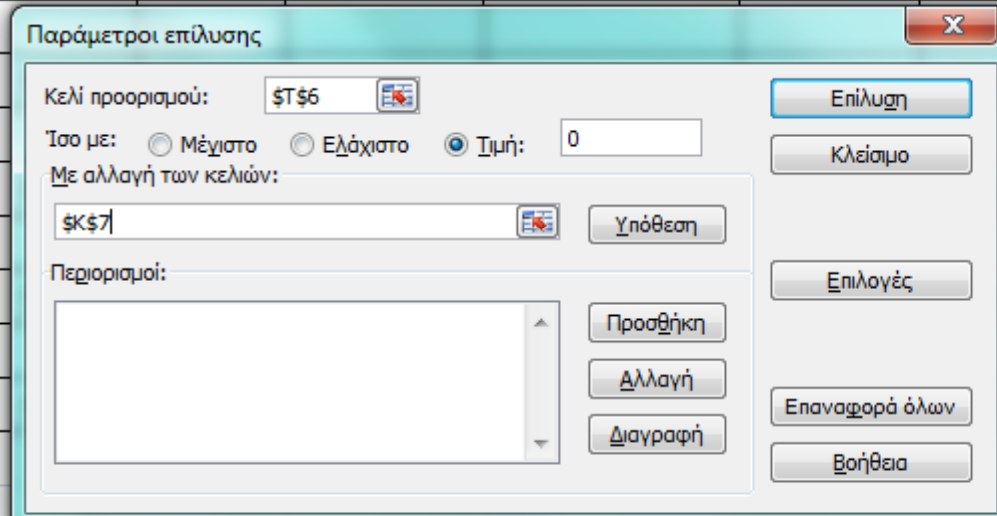


θέμα

Εργολάρη Πρόσθετα Acrobat



	J	K	L	M	O	P	Q	R	S	T	
3	5.14	1.576	12.72	11.80	2.40	0.29	0.0010	0.01			
4	5.50	1.580	12.43	11.20	2.45	0.31	0.0010	0.02			
5	5.50	1.623	12.88	11.35	2.37	0.29	0.0009	0.03			
6	5.50	1.658	13.24	11.48	2.30	0.27	0.0009	0.07			
									0.0008	0.00	
									0.0008	0.07	
									0.0008	0.00	
									0.0007	0.21	
									0.0007	0.00	
									0.0007	0.21	
									0.0007	0.00	
									0.0007	0.21	



θέμα

	a/a	dx (m)	ΠΑΡΟ ΧΗ Q (m <sup>3</sup> /s)	ΑΠΟΣΤ ΑΣΗ (m)	ΚΛΙΣΗ ΠΡΑΝΩ Ν m	ΠΛΑΤΟ Σ b (m)	ΒΑΘΟΣ y (m)	ΕΜΒΑΔΟ Ν ΥΓΡΗΣ ΔΙΑΤΟΜΗ Σ A	ΒΡΕΧΟΜΕΝΗ ΠΕΡΙΜΕΤΡΟΣ P (m)	ΤΑΧΥΤΗ ΤΑ u (m/s)		ΑΠΩΛΕΙΕ Σ sf (m)		SF <sub>μεσο</sub>	ΣΥΝΑΡΤΗΣΗ ΜΗΔΕΝΙΣΜΟ Υ ΔΕ
	1	2	3	4	5	6	7	8	9	10	10.3	11	12	S0*dx	
ΜΕΤΑΒΑΤΙΚ Ο ΤΜΗΜΑ	0		30.50	1162	0.00	7.00	1.246	8.72	9.49	3.50	0.62	0.0027			
		11.65	30.50											0.0019	0.00
	1		30.50	1150	1.86	5.14	1.576	12.72	11.80	2.40	0.29	0.0010	0.01		
ΔΙΩΡΥΓΑ		30.00	30.50											0.0010	0.00
	2		30.50	1120	1.50	5.50	1.604	12.68	11.28	2.40	0.29	0.0010	0.02		
		40.00	30.50											0.0009	0.00
	3		30.50	1080	1.50	5.50	1.623	12.88	11.35	2.37	0.29	0.0009	0.03		
		100.00	30.50											0.0009	0.00
	4		30.50	980	1.50	5.50	1.658	13.24	11.48	2.30	0.27	0.0009	0.07		
		100.00	30.50											0.0008	0.00
	5		30.50	880	1.50	5.50	1.682	13.49	11.56	2.26	0.26	0.0008	0.07		
		300.00	30.50											0.0008	0.00
	6		30.50	580	1.50	5.50	1.722	13.92	11.71	2.19	0.24	0.0007	0.21		
		300.00	30.50											0.0007	0.00
	7		30.50	280	1.50	5.50	1.737	14.08	11.76	2.17	0.24	0.0007	0.21		
		300.00	30.50											0.0007	0.00
	8		30.50	-20	1.50	5.50	1.746	14.17	11.79	2.15	0.24	0.0007	0.21		

Στο θέμα οι δύο λύσεις δεν συμπίπτουν  
απόλυτα γιατί αντικατωπίζουν  
διαφορετικά τις απώλειες

θέμα

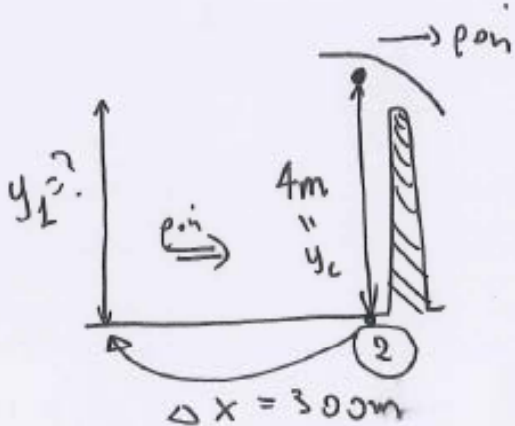
# Μικρή Εφαρμογή (εκτός Θέματος)

①

Άσκηση, επίπεδη στήνα Τάφη:

Τρανσφοριστής Σιετόφη, πε τετράγων ανά υπερόπερα, σε  
κλίση  $s_0 = 0.0015$ , ηλιόρος  $n_{\text{RH}} = 3m = b_0$ , Ελίση Αραντών  $1:1.5$

Δύο πρόσθιες στήνα, αριστερής ονάρην της διαδικασίας της  
βαλών πονής είναι  $4m$ .  $Q = 19 m^3/s$ . Ενώ  $n(\text{Μανίγ}) = 0.017$ ,



Πόσο είναι το βαλόν πονής  $\Delta x = 3.00 m$ ,  
ονάρην της διαδικασίας?

Nisan: Obálky oboustranny (černý)

$$f_n = \frac{Q \cdot n}{S_0 b_0} 8/3 \quad \left( \text{proto } f_{1278}, \quad i = 1,5 \text{ usl.} \right)$$

násobek násob

$$\rightarrow \bar{y}_n =$$

$$\rightarrow y = \bar{y}_n \cdot b =$$

② Bildung Kavovite:

-3-

$$f_k = \frac{Q}{\sqrt{g} b_0^{s/a}} = \rightarrow \bar{y}_c = \rightarrow$$

$$\rightarrow y_c = \bar{y}_c \cdot b_c =$$

Ελάφχος: Ομοιόμερας λόγος και ρίζη των

$$\left\{ \begin{array}{l} \bar{f}_h = \frac{Q \cdot h}{\sum_{i=1}^{n-1} b_i} : \left( \text{μέση γυρτή, } \frac{1}{1.5} \right) \\ = \frac{19 \cdot 0.017}{0.0015^{v_2} \cdot 3^{v_3}} = 0.445 \rightarrow \end{array} \right.$$

$$\rightarrow \bar{y}_h \approx 0.595 \rightarrow y_h = \bar{y}_h \cdot b_h \approx 1.58 \text{ m.}$$

$$\bar{f}_c = \frac{Q}{\sqrt{g} \cdot b_h} = \frac{19}{\sqrt{g} \cdot 3^{s_{1/2}}} = 0.389 \rightarrow$$

$$\rightarrow \bar{y}_h \approx 0.728 \rightarrow y_h = 1.275 \text{ m.}$$

(3) Έλεγχοι.

$$y_2 = t_m$$

Έλεγχος  
με βάση  
συμβαρεύεται  
επον

$$\left\{ \begin{array}{l} y_n > y_c \rightarrow \text{κατίπλωση } M, \text{ μήδε πλινθ.} \\ t = y > y_n \\ t_m = y > y_c \end{array} \right\} \Rightarrow M_1$$

παν' αντέρισμα, αν διατίνει τη σύνθετη

διάθεση ή βαθός, συμβαρεύεται  
 $\neq$  επον  
διέργεια (διέργεια  $M_2$ )

ΠΙΝΑΚΑΣ 4.1

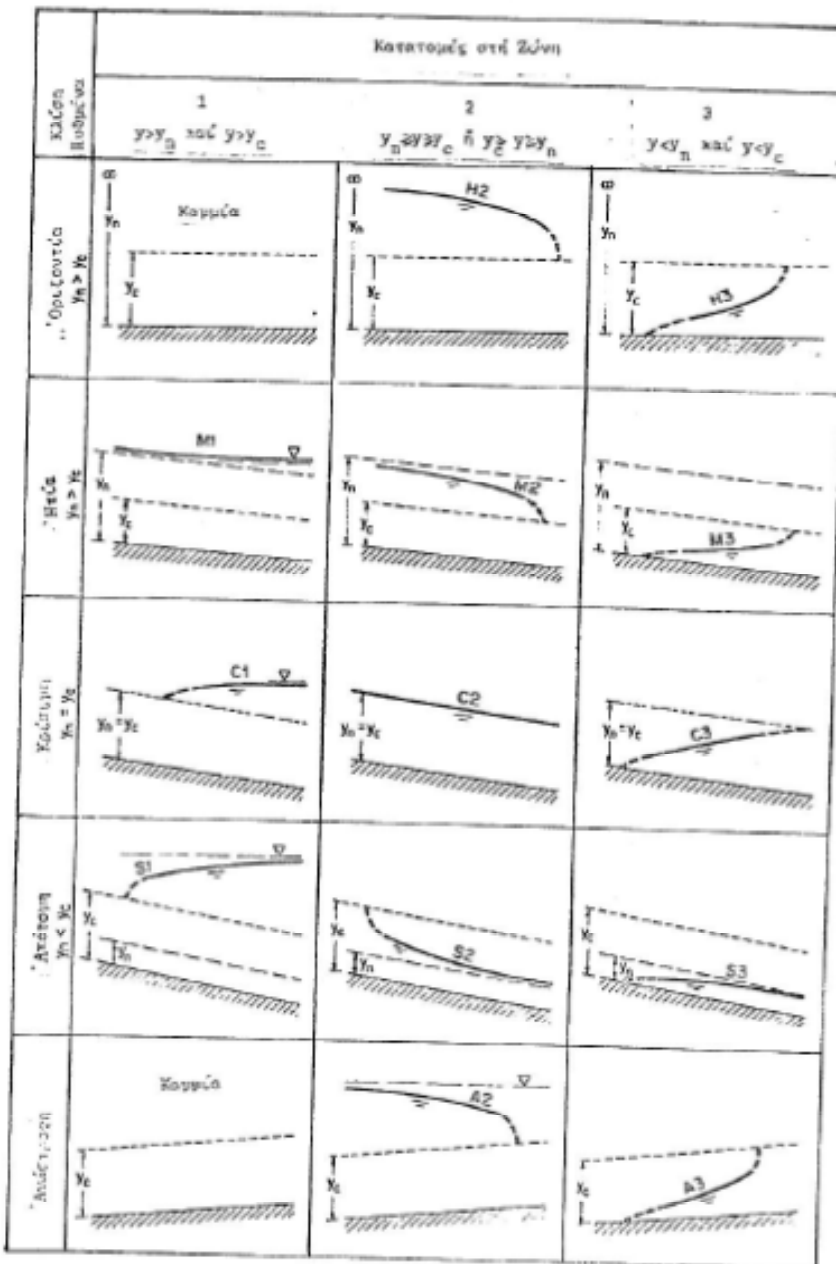
ΤΥΠΟΙ ΚΑΤΑΤΟΜΩΝ ΤΗΣ ΕΠΙΦΑΝΕΙΑΣ ΤΟΥ ΥΔΑΤΟΣ  
ΣΕ ΠΡΙΣΜΑΤΙΚΟΥΣ ΑΓΓΟΥΣ

Κλίση πυθμένα άγωγού	Συμβολισμός			Σχέση των βάθους γ πρός $y_n$ και $y_c$	Γενικός τύπος καμπόλης*	κατάσταση της ροής
	Ζώνη 1	Ζώνη 2	Ζώνη 3			
'Οριζόντια $s_0 = 0$	-0-			-0-	-0-	-0-
		$H_2$		$y_n > y > y_c$	K	'Υποκρίσιμη
'Ηπία $0 < s_0 < s_c$		$H_3$		$y_n > y_c > y$	Y	'Υπερκρίσιμη
	$M_1$			$y > y_n > y_c$	Y	'Υποκρίσιμη
$s_0 = s_c > 0$		$M_2$		$y_n > y > y_c$	K	>>
		$M_3$		$y_n > y_c > y$	Y	'Υπερκρίσιμη
Κρίσιμη $s_0 = s_c > 0$	$C_1$			$y > y_n = y_c$	Y	'Υποκρίσιμη
		$C_2$		$y = y_n = y_c$	O	Κρίσιμη και διμοιριδική
'Απότομη $s_0 > s_c > 0$		$C_3$		$y_n = y_c > y$	Y	'Υπερκρίσιμη
		$S_1$		$y > y_c > y_n$	Y	'Υποκρίσιμη
		$S_2$		$y_c > y > y_n$	K	'Υπερκρίσιμη
		$S_3$		$y_c > y_n > y$	Y	>>
$s_0 < 0$	-0-			-0-	-0-	-0-
		$A_2$		$ y_n  > y > y_c$	K	'Υποκρίσιμη
		$A_3$		$ y_n  > y_c > y$	Y	'Υπερκρίσιμη

\* ) K = καμπόλη καταπτώσεως, Y = καμπόλη ύπερυψώσεως, O = διμοιριδική  
ροή

Σακκάς, 1988

$$\frac{dy}{dx} = \frac{S_0 - S_f}{1 - F_T^2}$$



Σακκάς, 1988

4.1 Σχηματική παράσταση και ταξινόμηση των κατατομών της

προσοχή αλλού  
συμβολισμός όπου  $z \rightarrow m$

ΠΙΘ. 3.1 Γεωμετρικά στοιχεία σγωγών

Διατομή	Επιφάνεια $A$	Βρεχ. περιμέτρος $P$	Υδραυλική ακτίνα $R = A/P$	Πλάτος ελεύθερης επιφάνειας $B$	Υδραυλικό βάθος $y_p = A/B$	Αριθμός Froude $F$
Ορθογωνική	$by$	$b + 2y$	$\frac{by}{b + 2y}$	$b$	$y$	$\sqrt{\frac{Q^2}{b^2 y^3 g}}$
Τρapeζοειδής	$(b + zy)y$	$b + 2y\sqrt{1 + z^2}$	$\sqrt{\frac{(b + zy)y}{b + 2y\sqrt{1 + z^2}}}$	$b + 2zy$	$\frac{(b + zy)y}{b + 2zy}$	$\sqrt{\frac{(b + 2zy)z}{(b + 2zy)^2 y}}$
Τριγωνική	$zy^2$	$2y\sqrt{1 + z^2}$	$\frac{zy}{2\sqrt{1 + z^2}}$	$2zy$	$\frac{y}{2}$	$\sqrt{\frac{2Q^2}{z^2 y^5 g}}$
Κυκλική	$\frac{d^2}{8}(\varphi - \sin\varphi)$	$d\frac{\varphi}{2}$	$\frac{d}{4}\left(1 - \frac{\sin\varphi}{\varphi}\right)$	$\frac{d\left(\sin\frac{\varphi}{2}\right)}{\varphi}$ $2\sqrt{y(d-y)}$	$\frac{d}{8}\left[\frac{\varphi - \sin\varphi}{\sin\frac{\varphi}{2}}\right]$	$\sqrt{\frac{512Q^2 \sin^2}{gd^5(\varphi - \sin\varphi)}}$

③ Eftiorum Evapotras.

avalm  
niveau

$$H_1 = H_0 + \varepsilon h_f.$$

$$z_1 - z_2 = S_0 \Delta x = 0.0015 \cdot \Delta x$$

$$\bar{S}_f = \frac{S_{f1} + S_{f2}}{2}$$

$$S_{f2} = \frac{\frac{V_2^2 n^2}{R_2^{4/3}}}{R_2} = \left( \frac{Q^2 n^2}{R_2^{1/3} A_2^2} \right) \left\{ \begin{array}{l} \text{Manning or} \\ \text{Reynolds hyd. cond.} \end{array} \right\}$$

$$H_1 = y_1 + \frac{V_1^2}{2g} + z_1$$

$$H_0 = y_0 + \frac{V_0^2}{2g} + z_0$$

④ Kortarm = jvorm:  $y_1 = 4m$   
 $y_1 = 801 m^4$  (avalem)

M. Soutirj: De oplossing van  $\Delta x$  in rechthoekige trapezen

$$y_1 + \left( \frac{Q}{(b_0 + 1.5y_1)y_1} \right)^{\frac{1}{2y}} + \frac{S_{f_1} + S_{f_2}}{2} \Delta x =$$

andere  $(z_1 - z_2)$   $(H_1 = H_2 + \frac{\epsilon h_f}{2})$

$$= y_2 + \left( \frac{Q}{(b_0 + 1.5y)y_2} \right)^{\frac{1}{2y}} + \frac{S_{f_2} + S_{f_1}}{2} \Delta x.$$

Karakter

$$y_2 = 4 \text{ m} \quad \text{Karakter}$$

$$y_1 = 3 \text{ m} \quad \text{Karakter}$$

$$Q = 10 \text{ m}^3/\text{s}$$

$$\Delta x = 300$$

$$a, b, V$$

$$m^2 \cdot l^2$$

5:

$$A = (b_0 + 1.5y)y$$

$$P = b_0 + 2y\sqrt{1 + 1.5^2}$$

$$R = \frac{A}{P}$$

$$E_{\sigma T_w} \quad y = 3.5 \text{ m},$$



Trapezoid

Προσοχή  
άλλοι  
συμβολισ  
μός όπου  
 $z \rightarrow m$

$$A_i = (b + z y_i) y_i = (3 + 1.5 \cdot 3.5) 3.5 = 28.88 \text{ m}^2$$

$$P_i = b + 2y_i \sqrt{1+z^2} = (3 + 2 \cdot 3.5 \sqrt{1+1.5^2}) = 15.62 \text{ m}$$

$$\bar{V}_L = \frac{Q}{A_i} = \frac{19}{A_i} = 0.66 \text{ m/s} \rightarrow \frac{V^2}{2g} = H$$

$$S_{f_L} = \frac{n^2 V_L^2}{R_1^{4/3}} = \frac{n^2 V_i^2}{\left(\frac{A_i}{P_i}\right)^{4/3}} = \frac{n^2 Q_i^2}{A_i^2 (R_1)^{2/3}}$$

$$S_0 = 0.0015, \quad \Delta L = 0.0015 \cdot 25 = 0.45 \text{ m}$$

7

$\triangle ABC$ ,  $y_2 = 4m - y_1 = ?$  answer,

$$\text{En. of. Env. of } y_1 + \frac{v_1^2}{2g} + s_o \cdot \Delta x = y_2 + \frac{v_2^2}{2g} + \left( \frac{s_{f1} + s_{f2}}{2} \right) \cdot \Delta x$$

# Δοκιμές, επαλήθευση, εξίσωση ενέργειας

Επεξόρυξη.

$$y_1 + \frac{V_1^2}{2g} + \Delta z = y_2 + \frac{V_2^2}{2g} + \frac{S_{h1} + S_{h2}}{2} \Delta x$$

ανάπτυ

( $y_2 = 4m$ )

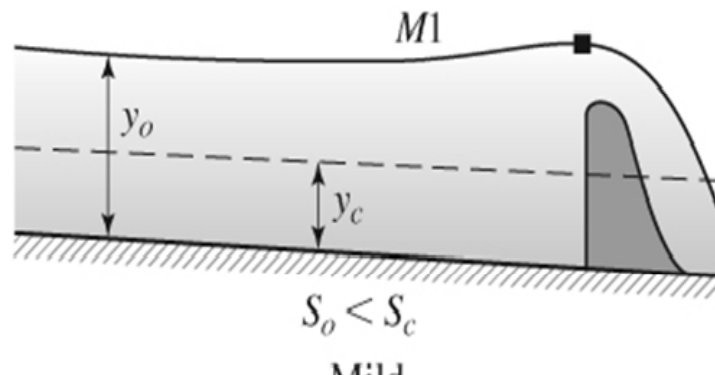
# δοκιμές

<b>α/α</b>	<b>dx</b> (m)	<b>ΠΑΡΟΧΗ HQ</b> (m <sup>3</sup> /s)	<b>ΚΛΙΣΗ ΠΡΑΝΩΝ m</b>	<b>ΠΛΑΤΟΣ b</b> (m)	<b>ΒΑΘΟΣ y</b> (m)	<b>ΕΜΒΑΔΟΝ ΥΓΡΗΣ ΔΙΑΤΟΜΗΣ A</b> (m <sup>2</sup> )	<b>ΒΡΕΧΟΜΕΝΗ ΠΕΡΙΜΕΤΡΟΣ P</b> (m)	<b>R</b>	<b>TAXYTHΤ A u</b> (m/s)	<b>kiniti</b>	<b>ΑΠΩΛΕΕΣ sf</b> (m)	<b>S0 ΔX</b>	<b>SF<sub>μεσο</sub></b>	<b>ΣΥΝΑΡΤΗΣΗ ΜΗΔΕΝΙΣΜΟΥ ΔE</b>
2		19.00	1.50	3.00	<b>4.000</b>	36.00	17.42	2.07	0.53	0.01	0.00003			
	300.00											0.4500	0.00004	0.00
3		19.00	1.50	3.00	<b>3.556</b>	29.63	15.82	1.87	0.64	0.02	0.00005			
	300.00	17.00										0.4500	0.00006	0.00
4		17.00	1.50	3.00	<b>3.119</b>	23.96	14.25	1.68	0.71	0.03	0.00007			

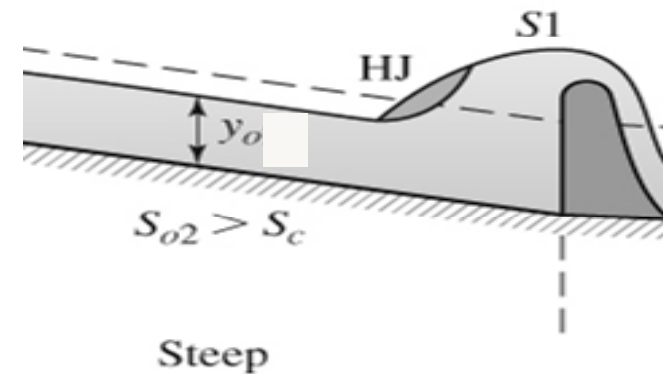
# Example

A trapezoidal concrete-lined channel has a constant bed slope of 0.0015, a bed width of 3 m and side slopes 1:1. A control gate increased the depth immediately upstream to **4.0m** when the discharge is  $19 \text{ m}^3/\text{s}$ . Compute WSP to a depth 5% greater than the uniform flow depth ( $n=0.017$ ).

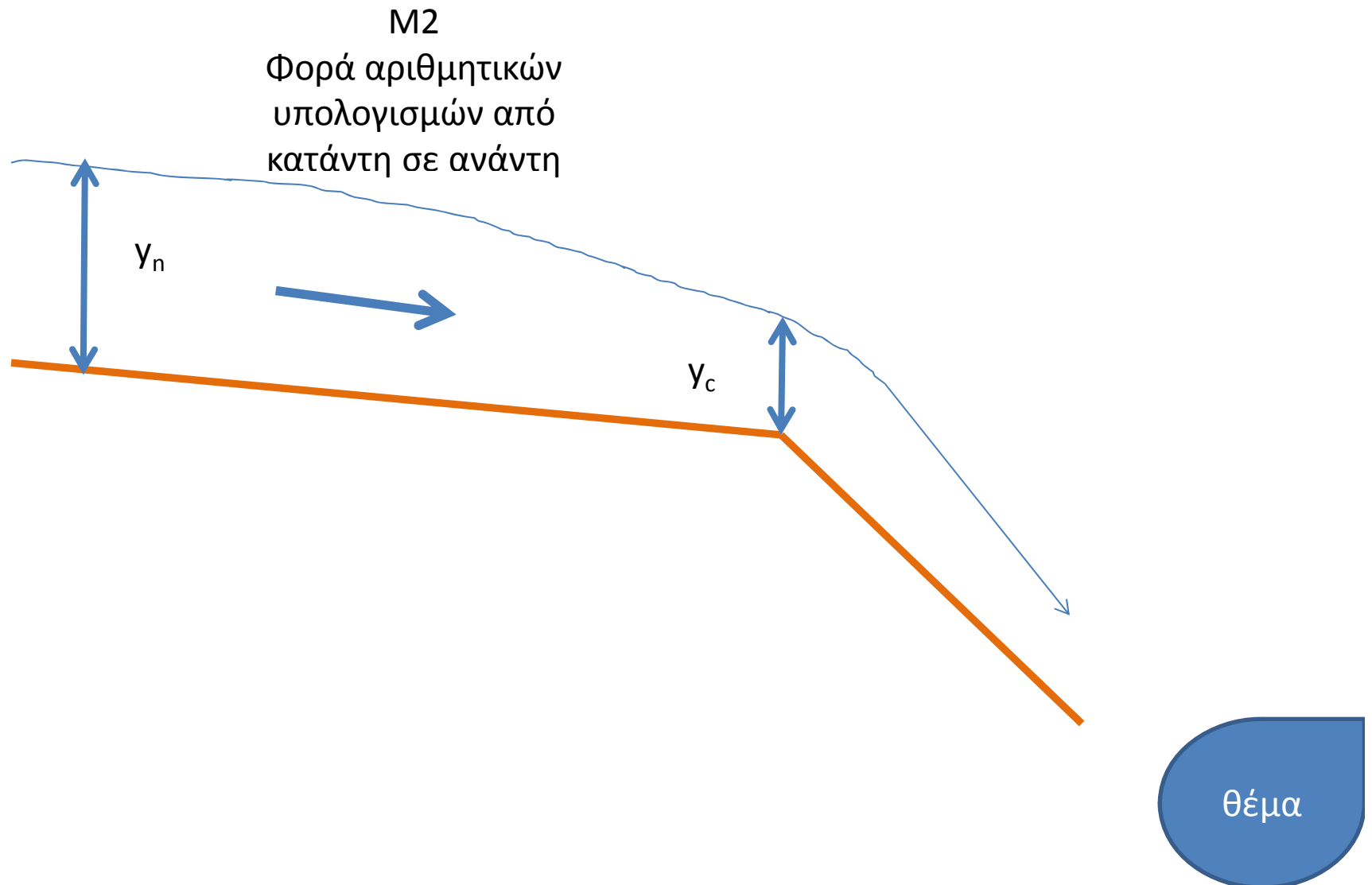
Two possibilities exist:

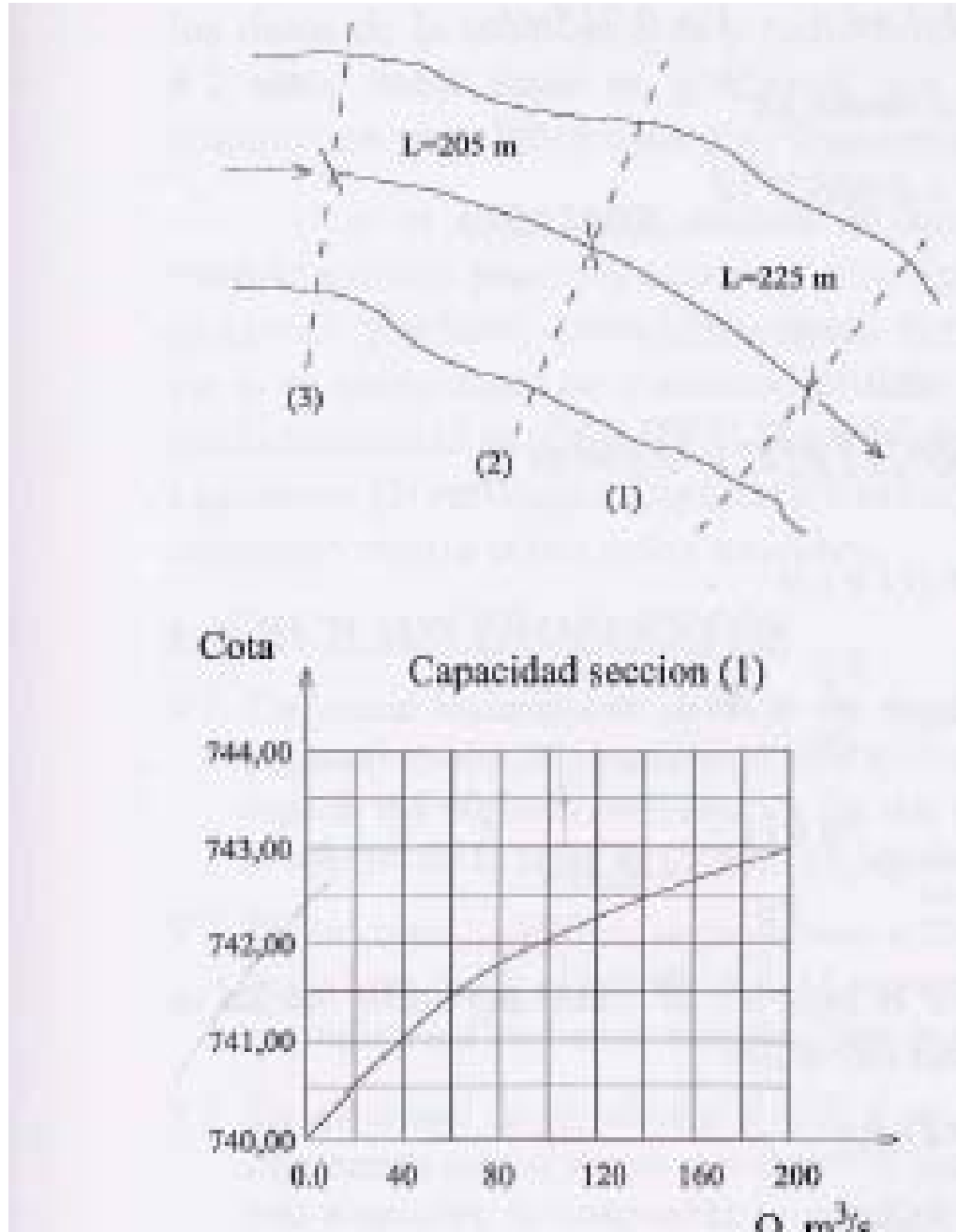


OR



# Φορά υπολογισμών: καμπύλη M2, (2) κατάντη → ανάντη (1)

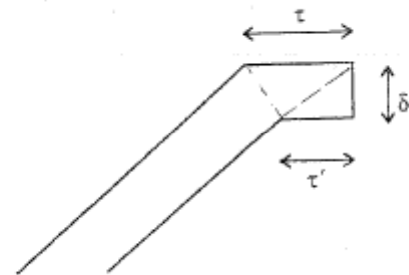




Μέθοδος χωρικού  
βήματος:  
Σωτήρια σε μη  
πρισματικούς  
αγωγούς, σε κάθε  
χαρακτηριστική  
διατομή πρέπει να  
τη συμπεριλαμβάνω  
στα υπολογιστικά  
βήματα μου

**Προσμετρήσεις**

# Προσμετρήσεις



Σχήμα Π1.8. Λεπτομέρεια της διατομής της διάρυγας

# Προσμετρήσεις

(81)

## Σητουμένο Ε

- Προμέτρηση υλικών και εργασιών

## Υπολογισμός χωματουργικών εργασιών

- Πίνακας Η.15
- Έλλειμμα ΣΚΕΚΑφών:  $i_60$  προς  $520 \text{ m}^3$ , για όλη τη διάρυγα  
εκτός του αναβαθμού

## Υπολογισμός απόλου σκυροδέματος

- Υπολογισμός μήκους επενδύσεως για τη διατομή του τμήματος AB  
και χωρίσιό για τη διατομή του τμήματος ΓΔ
- Μήκος επενδύσεως: Θεωρείται μία μίση γραμμή (Σχήμα Η.8)

# Προσμετρήσεις

## Π1.5.2 Υπολογισμός Αοπλου Σκυροδέματος

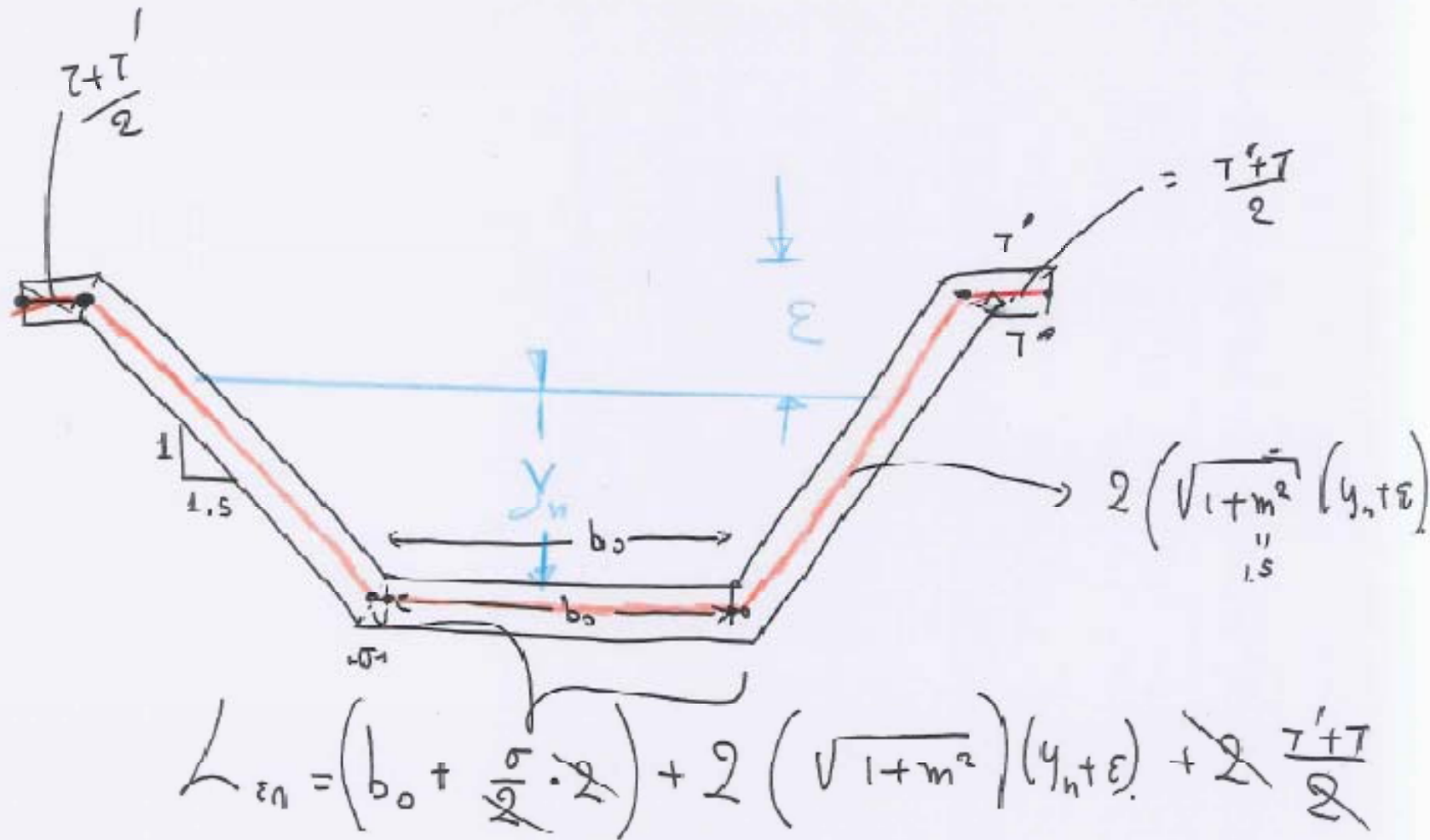
Για τον υπολογισμό του άοπλου σκυροδέματος που χρησιμοποιείται για την κατασκευή της Διώρυγας, χρειάζεται να υπολογιστεί αρχικά το μήκος της επενδύσεως για τα δύο τμήματα της Διώρυγας. Θεωρείται ότι η επένδυση δεν έχει πάχος, αλλά περιγράφεται από μία μέση γραμμή. Ο τύπος που μας δίνει το μήκος επενδύσεως είναι ο ακόλουθος:

$$L_{\varepsilon\pi} = b + 2\sqrt{1+m^2} (y_n + \varepsilon) + \sigma + \tau + \tau' \quad (\text{Π1.32})$$

όπου οι ποσότητες  $\tau$  και  $\tau'$  φαίνονται στο Σχήμα Π1.8 και δίδονται από τις παρακάτω εξισώσεις:

$$\tau = \delta \cdot \sqrt{1+m^2} \quad (\text{Π1.33})$$

$$\tau' = m \cdot \delta \quad (\text{Π1.34})$$



$$L_{en} = b_0 + 2 \sqrt{1+m^2} \cdot (y_n + \epsilon) + \sigma + \tau + \tau'$$

Οι Εξισώσεις Π1.33 και Π1.34 δίνουν αντίστοιχα:

$$\tau = 0,08 \cdot \sqrt{1+1.5^2} \Rightarrow \tau = 0.1442\text{m}$$

$$\tau' = 1.5 \times 0.08 \Rightarrow \tau' = 0.12\text{m}$$

και η Εξ. Π1.32 για τα δύο τμήματα της διώρυγας δίνει (είναι  $\varepsilon = 0.49$  και  $\sigma = 0.0242\text{ m}$  και για τα δύο τμήματα της Διώρυγας):

- για το τμήμα  $A - B$ , όπου  $b = 5.5\text{ m}$  και  $y_n = 1.75\text{ m}$  το μήκος επενδύσεως είναι:

$$(L_{επ})_{AB} = 5.5 + 2\sqrt{1+1.5^2} (1.75 + 0.49) + 0.0242 + 0.1442 + 0.12 = 13.865\text{m}$$

- για το τμήμα  $\Gamma - \Delta$ , όπου  $b = 7.0\text{ m}$  και  $y_n = 2.31\text{ m}$  το μήκος επενδύσεως είναι:

$$(L_{επ})_{ΓΔ} = 7.0 + 2\sqrt{1+1.5^2} (2.31 + 0.49) + 0.0242 + 0.1442 + 0.12 = 17.384\text{ m}$$

Ο όγκος του σκυροδέματος προκύπτει αν πολλαπλασιασθεί το μήκος  $L_{επ}$  με το πάχος  $\delta$  της επενδύσεως και το μήκος  $S$  της Διώρυγας. Έτσι για τα δύο τμήματα ξεχωριστά προκύπτει:

- για το τμήμα  $A - B$ , όπου  $\delta = 0.08\text{ m}$  και  $S = 1.150\text{ m}$  προκύπτει όγκος ίσος με  $V_{AB} = 13.865 \times 0.08 \times 1150 = 1275.58\text{ m}^3$
- για το τμήμα  $\Gamma - \Delta$ , όπου  $\delta = 0.08\text{ m}$  και  $S = 950\text{ m}$  προκύπτει όγκος ίσος με  $V_{ΓΔ} = 17.384 \times 0.08 \times 950 = 1321.8\text{ m}^3$

Ο συνολικός όγκος άοπλου σκυροδέματος για την κατασκευή της Διώρυγας προκύπτει:

$$V_{σκυρ.} = 1.275.58 + 1.321.18 \Rightarrow V_{σκυρ.} = 2.596.76\text{ m}^3$$

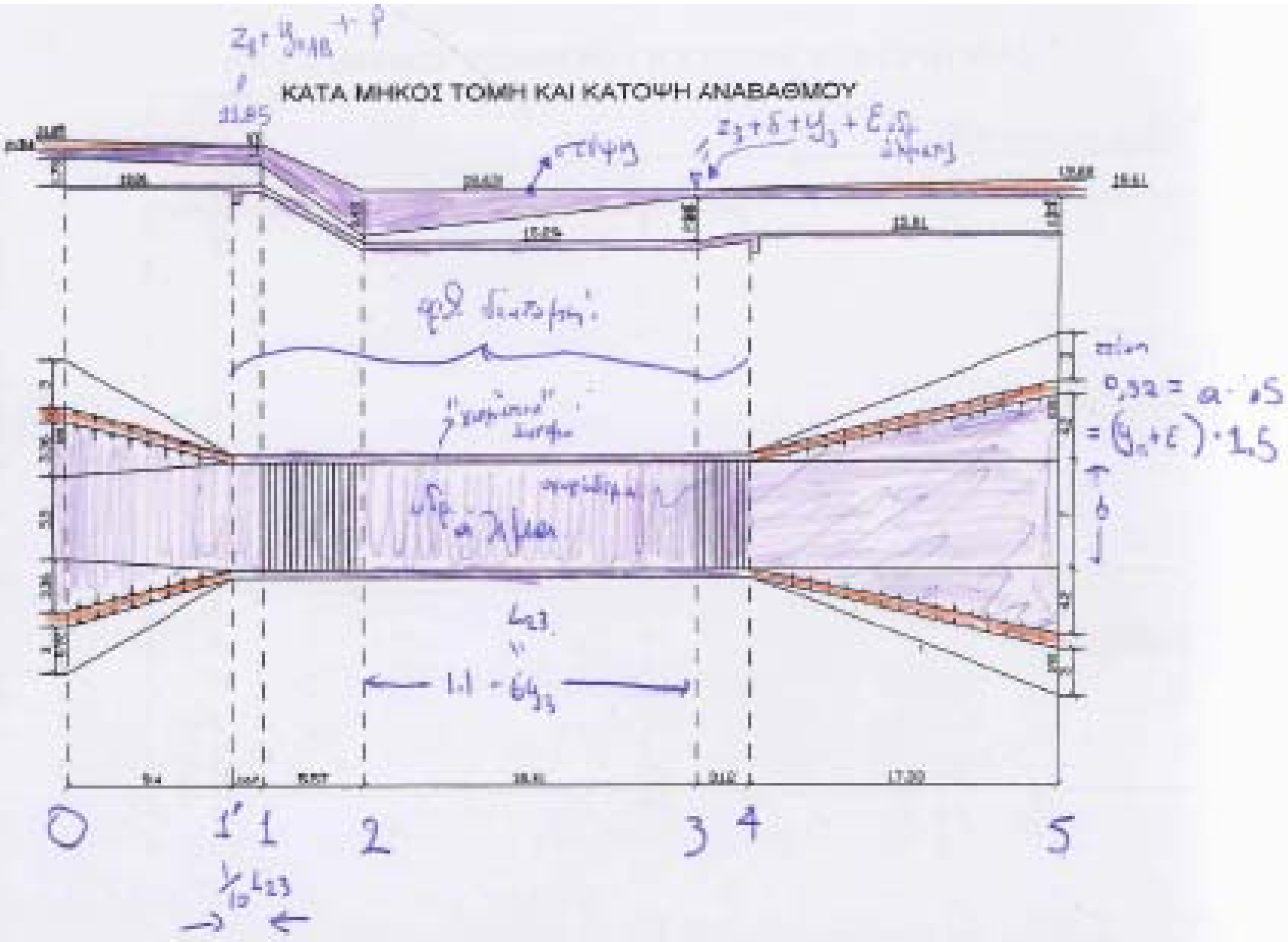
**Σχέδια**

### ΚΑΤΑ ΠΛΑΤΟΣ ΤΟΜΗ ΔΙΟΡΥΓΑΣ (Χ.Θ. 0+700)



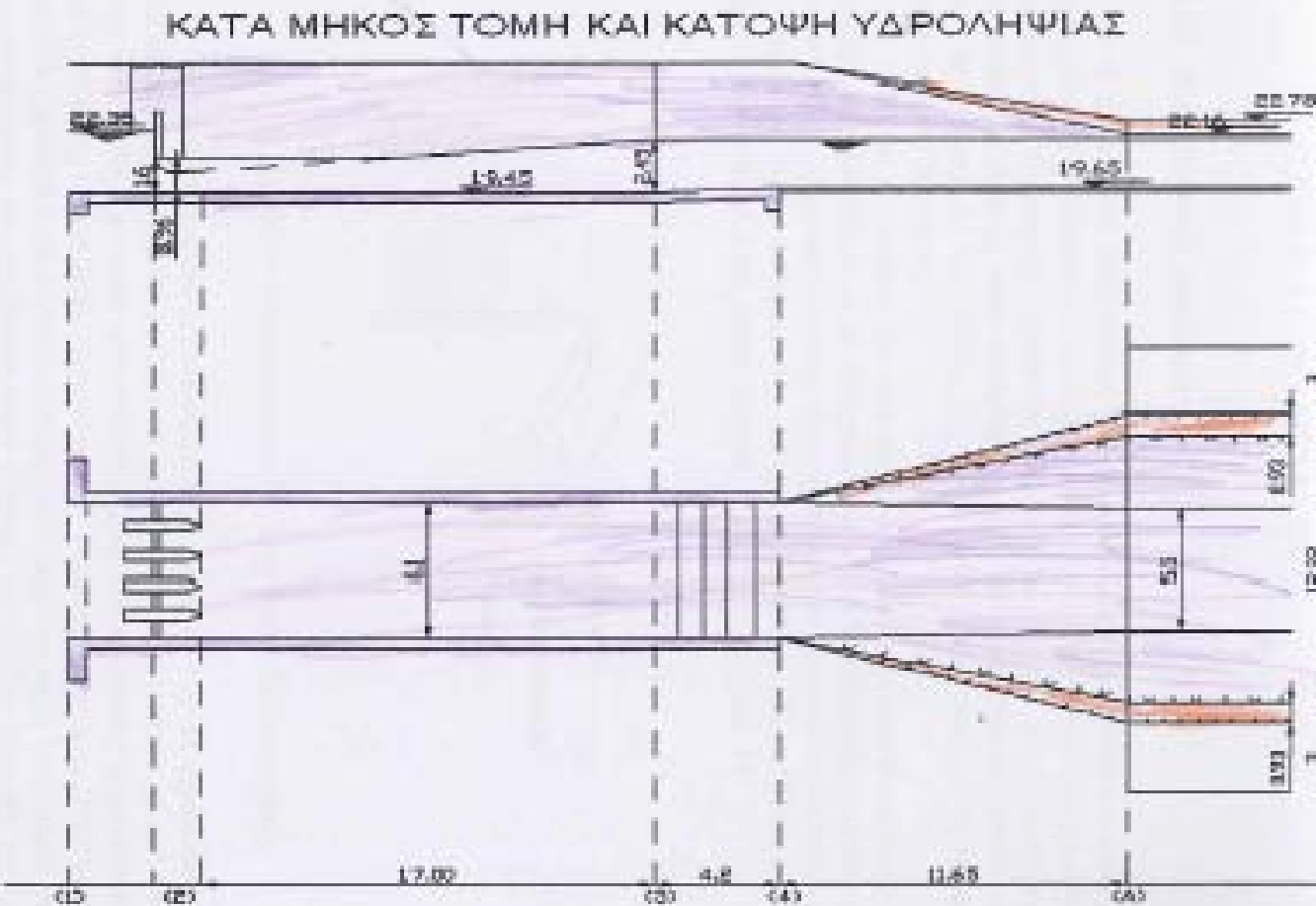
Σχέδιο Π1.2 Εργασίες διακομής της Διόρυγας στη Χ.Θ. 0+700

Σχέδιο ΓΙ. Ε Μητροπολίτη και επίκουρη του Αναβαθμιστή

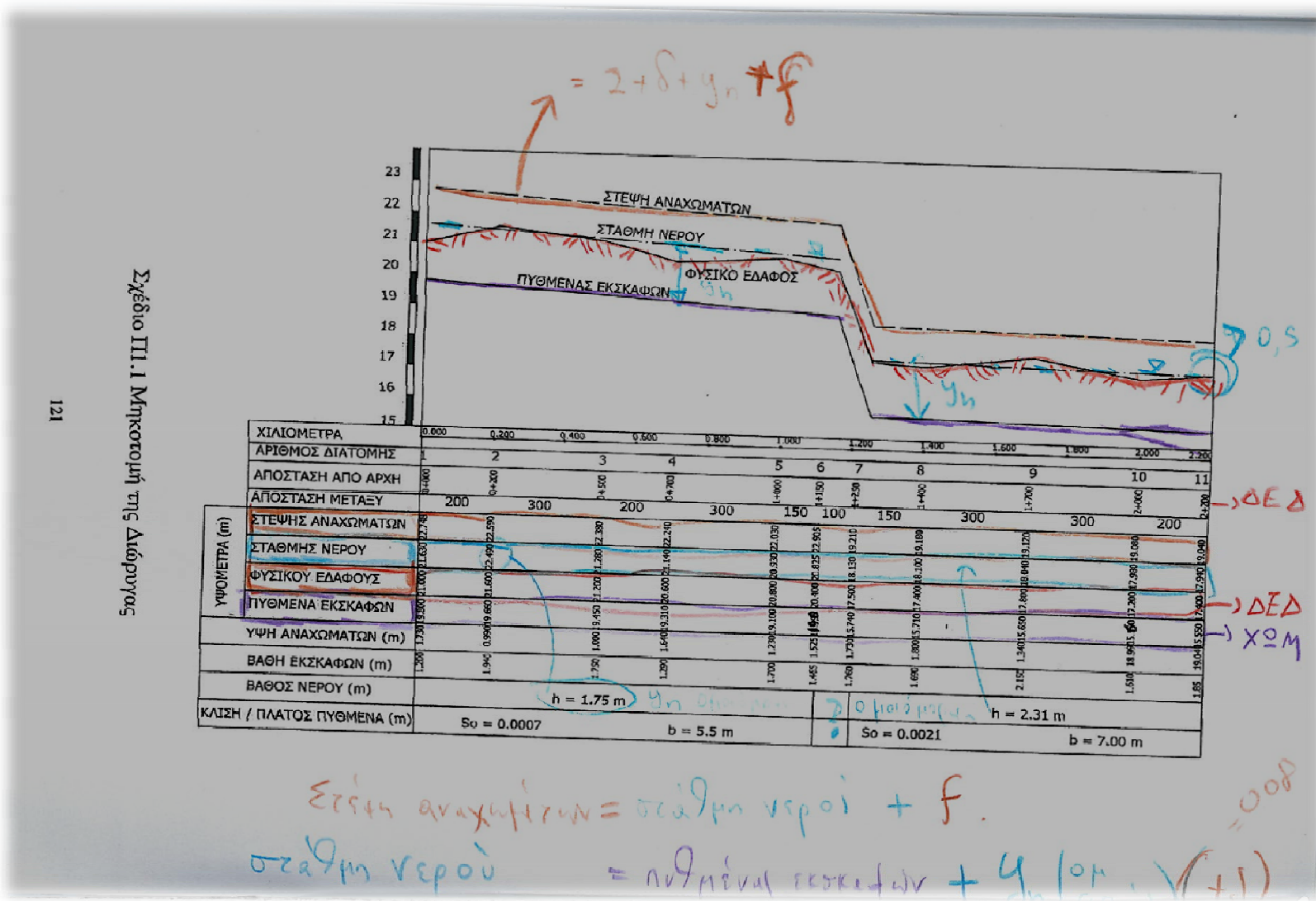


Σχέδιο Π.1.4 Μηκοστρά και κάτοψη της Υδρολίψιας

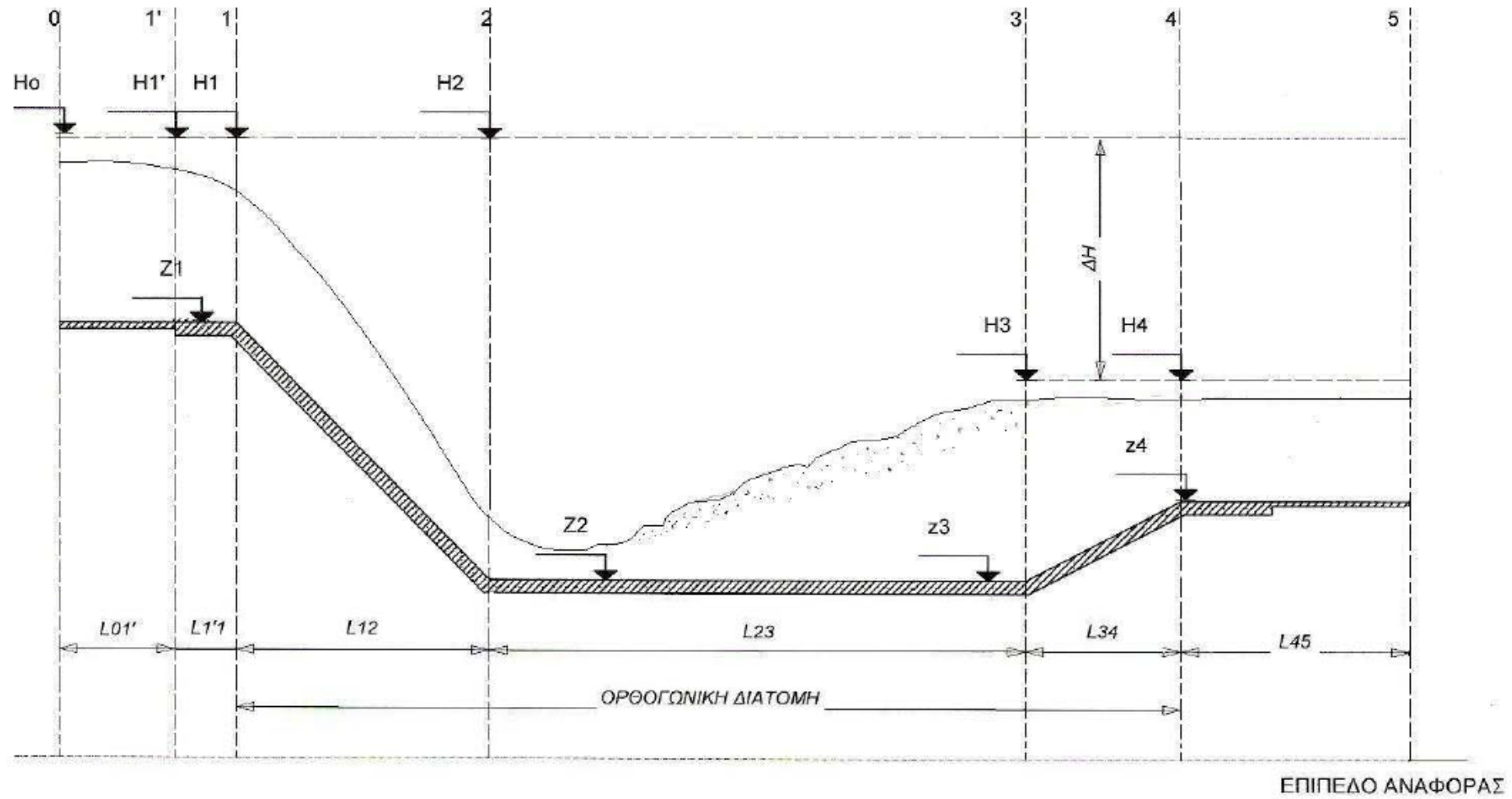
111



# Μηκοτομή



**Υπενθύμιση γεωμετρικά στοιχεία  
υδραυλικού άλματος**



## Υπολογισμός υδραυλικού άλματος (Σελίδα Η.4)

- Το υδραυλικό άλμα λαμβάνει χώρα σε ορθογωνική διατομή.  
Από διατομή 1 μέχρι διατομή 4: ορθογωνική κατασκευή.
  - Από διατομή 0 έως διατομή 1 } μεταβατικά τμήματα με αναλογία  
" " 4 " " 5 } προβαρρυγή 1:5 (στα τη μετάβαση  
από την τραπεζοειδή διατομή της  
διώρυγας στην ορθογωνική διατομή  
του αναβαθμού),

Υπολογισμός του πλάτους της λεκάνης πρεμίας (b)

- Εμπειρικός τύπος:  $b = \frac{1}{5} Q = \frac{1}{5} \times 30.5 = 6.1 \text{ m}$
  - Προτείνεται αυξημένο πλάτος  $b = 7 \text{ m}$
  - Παροχή ανά μονάδα πλάτους:  $q = \frac{Q}{b} = \frac{30.5}{7} = 4.36 \frac{\text{m}^3}{\text{s} \cdot \text{m}}$

# Μήκος λεκάνης ηρεμίας

Υπολογισμός μήκους του αναθεωρημού

- Εμπειρικός τύπος για το μήκος των υδραυλικών ἀλματος:

$$L_j \approx 6.0 y_3 = 6.0 \times 2.88 = 17.28 \text{ m}$$

- Για λόγους ασφαλείας  $L_{23} \approx 1.1 L_j = 1.1 \times 17.28 = 19.01 \text{ m}$

$L_{23}$ : μήκος λεκάνης πρεμίας

# Θεωρητικά κρίσιμο και πραγματικό κρίσιμο

Υπολογισμός άλλων χαρακτηριστικών μηκών

- Μήκος  $L_{11}$  από οπλισμένο σκυρόδεμα, καθόσον το κρίσιμο βάθος δεν εμφανίζεται στη θέση !, αλλά λίγο πιο ανάντη

$$L_{11} = \frac{1}{10} \cdot L_{23} = \frac{1}{10} \times 19.01 \approx 1.90 \text{ m} \quad (\text{εμπειρικός τύπος})$$

# Κεκλιμένο τμήμα

$$\Delta z_{1-2} = z_1 - z_2 = (20.40 - 1.40) - 15.2 = 3.8 \text{ m}$$

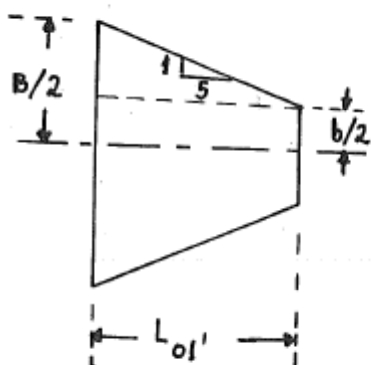
Κλίση τμήματος 1-2: 1:1.5 (δεδομένο)

$$L_{12} = 1.5 \times \Delta z_{1-2} = 1.5 \times 3.8 = 5.7 \text{ m}$$

20.40 m: υψόμετρο ανθεκού εδάφους

1.40 m: βάθος εκσκαφής

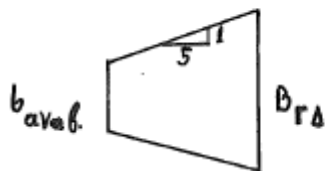
# Συναρμογές



αναλογία προσαρμογής 1:5

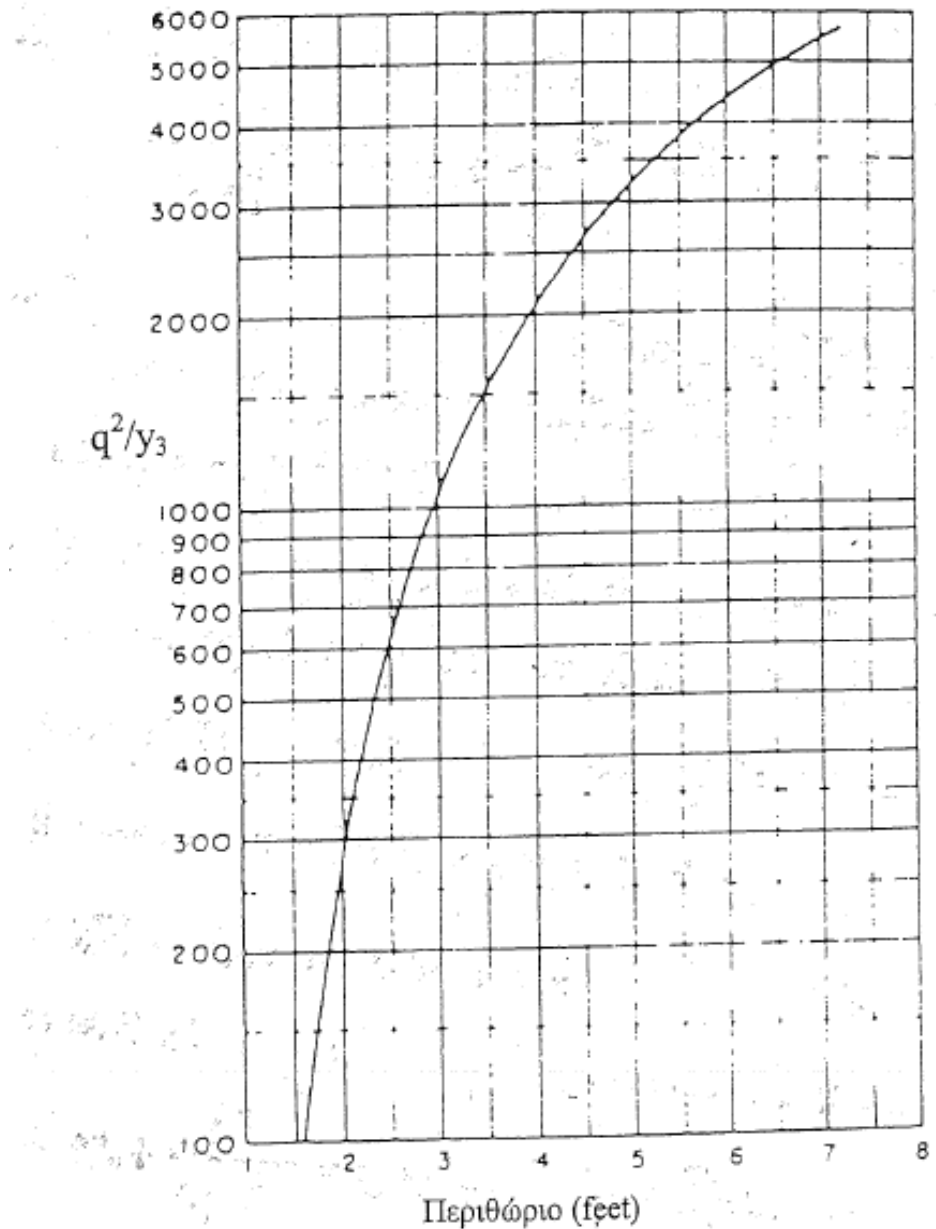
$$\frac{L_{OI'}}{5} = \frac{B-b}{1} \Rightarrow L_{OI'} = 2.5(B-b)$$

$$L_{OI'} = 2.5(B_{AB} - b_{αναβ.}) = 2.5(10.76 - 7.0) = 9.4 \text{ m}$$



$$L_{45} = 2.5(B_{RA} - b_{αναβ.}) = 2.5(13.93 - 7.0) = 17.33 \text{ m}$$

Διαφαίνεται άλλη μία απλούστευση που κάναμε εφόσον αρχικά αγνοήσαμε την μετάβαση (4-5)



Σχήμα Π3.1 Διάγραμμα υπολογισμού του περιθωρίου Λεκάνης καταστροφής ενέργειας

# Ελεύθερο περιθώριο για άλμα

Υπολογισμός ελεύθερου περιθώριου της λεκάνης πρεμίας

(freeboard in stilling pool)

- Διάγραμμα Η3.1,  $l_m = 3.28 \text{ ft} \Rightarrow l_m^3 = 3.28^3 \text{ ft}^3 = 35.3 \text{ ft}^3$

$$\frac{g^2}{y_3} = \frac{4.36^2}{2.88} \quad \frac{(3.28^2)^2}{3.28} = 232.92 \frac{\text{ft}^3}{\text{sec}^2}$$

- Από το διάγραμμα Η3.1  $\Rightarrow$  περιθώριο αεφαλειας  $f = 1.8 \text{ ft} = 0.55 \text{ m}$